



PONTÍFICA UNIVERSIDADE CATÓLICA DO PARANÁ
ESCOLA DE CIÊNCIAS DA VIDA
PROGRAMA DE PÓS-GRADUAÇÃO EM ODONTOLOGIA
ÁREA DE CONCENTRAÇÃO EM CLÍNICA ODONTOLÓGICA
INTEGRADA COM ÊNFASE EM ENDODONTIA

JHONY ROSS ALVES MARTINS

**ANÁLISE DA MORFOLOGIA RADICULAR DE INCISIVOS, CANINOS E PRÉ-
MOLARES INFERIORES POR MEIO DE TRÊS MÉTODOS IMAGINOLÓGICOS
– ESTUDO IN VITRO**

Curitiba

2020

JHONY ROSS ALVES MARTINS

ANÁLISE DA MORFOLOGIA RADICULAR DE INCISIVOS, CANINOS E PRÉ-MOLARES INFERIORES POR MEIO DE TRÊS MÉTODOS IMAGINOLÓGICOS – ESTUDO IN VITRO

Dissertação apresentada ao Programa de Pós-Graduação em Odontologia da Pontifícia Universidade Católica do Paraná como parte dos requisitos para obtenção do título de Mestre em Odontologia, Área de Concentração em Clínica Odontológica Integrada (Ênfase em Endodontia).

Orientadora: Prof^a. Dr^a. Vânia Portela Ditzel Westphalen

Coorientadora: Ângela Graciela Deliga Schroder

Curitiba

2020

Dados da Catalogação na Publicação
Pontifícia Universidade Católica do Paraná
Sistema Integrado de Bibliotecas – SIBI/PUCPR
Biblioteca Central

Martins, Jhony Ross Alves

M386a 2020 Análise da morfologia radicular de incisivos, caninos e pré-molares inferiores por meio de três métodos imaginológicos : estudo in vitro / Jhony Ross Alves Martins ; orientadora, Vânia Portela Ditzel Westphalen ; coorientadora, Ângela Graciela Deliga Schroder. – 2020.

44 f. : il. ; 30 cm

Dissertação (mestrado) - Pontifícia Universidade Católica do Paraná, Curitiba, 2020.

Bibliografia: f. 40-44

1. Microtomografia por Raio-X. 2. Anatomia. 3. Endodontia. 4. Odontologia. I. Westphalen, Vânia Portela Ditzel. II. Schroder, Ângela Graciela Deliga. III. Pontifícia Universidade Católica do Paraná. Programa de Pós-Graduação em Odontologia. IV. Título.

CDD. 20. ed. – 671.6



Pontifícia Universidade Católica do Paraná
Escola de Ciências da Vida
Programa de Pós-Graduação em Odontologia

TERMO DE APROVAÇÃO

JHONY ROSS ALVES MARTINS

ANÁLISE DA MORFOLOGIA RADICULAR DE INCISIVOS, CANINOS E PRÊMOLARES INFERIORES POR MEIO DE TRÊS MÉTODOS IMAGINOLÓGICOS – ESTUDO IN VITRO

Dissertação apresentada ao Programa de Pós-Graduação em Odontologia da Pontifícia Universidade Católica do Paraná, como parte dos requisitos parciais para a obtenção do Título de **Mestre em Odontologia**, Área de Concentração em **Clinica Odontológica Integrada com Ênfase em Endodontia**.

Orientador(a): Profª Drª Vânia Portela Ditzel Westphalen
Programa de Pós-Graduação em Odontologia, PUCPR

Prof. Dr. Ulisses Xavier da Silva Neto
Programa de Pós-Graduação em Odontologia, PUCPR

Prof. Dr. Luiz Fernando Fariniuk
Programa de Pós-Graduação em Odontologia, UPPR

Curitiba, 17 de agosto de 2020.

RESUMO

1
2
3
4
5
6
7
8
9
10
11
12
13
14
15
16
17
18
19
20
21
22
23
24
25
26
27
28
29
30
31
32
33
34
35
36
37
38
39
40
41
42

Objetivo: Verificar a morfologia do sistema de canais radiculares (SCR) e compará-los com a classificação de Vertucci, verificar também o número de canais radiculares, presença de canais laterais nos terços radiculares e o término do SCR, utilizando três diferentes métodos imaginológicos complementares: Radiografia Periapical Digital (RPD), Tomografia Computadorizada de Feixe Cônico (TCFC) e Microtomografia (μ CT). **Materiais e Métodos:** Foram avaliados 150 dentes, incisivos centrais (ICI) e laterais (ILI), caninos (CI), primeiro (1PMI) e segundo pré-molares inferiores (2PMI), 30 para cada grupo dentário, por três diferentes métodos imaginológicos: RPD e TCFC, os quais foram observados por 03 diferentes avaliadores e a μ CT, que foi observada por um quarto avaliador. **Resultados:** Quanto a classificação de Vertucci nos ICI, houve diferença estatística entre a RPD e TCFC ($p = 0,036$), também em relação a μ CT ($p = 0,011$). O tipo I foi o mais comum nos ICI e 1PMI. Nos 1PMI houve diferença estatística entre RPD e μ CT ($p = 0,003$) e entre a TCFC e μ CT ($p = 0,006$). Quanto a média do número de canais observados nos ICI houve diferença estatística entre a RPD e TCFC ($p = 0,002$), a μ CT, apresentou diferença estatística entre a RPD ($p=0,00018$) e TCFC ($p = 0,00018$). Nos CI, houve diferença estatística somente entre a TCFC e μ CT ($p = 0,025$). Em relação a presença dos canais laterais observados, houve diferença estatística ($p = 0,031$) nos ILI entre a TCFC com a μ CT. Quanto a presença de canais laterais nos terços radiculares nos CI, na RPD e μ CT a maioria foram observadas no terço apical, enquanto que na TCFC foi no terço médio, com diferença estatística entre TCFC e μ CT ($p = 0,016$). Nos 1PMI houve diferença estatística na RPD e TCFC com a μ CT ($p = 0,01$ e $p = 0,004$), foram observados mais canais por meio da μ CT. Quanto ao término do canal coincidir com o ápice radicular houve diferença estatística nos ICI e ILI na RPD e TCFC com a μ CT ($p = 0,001$ e $p = 0$). Nos CI houve diferença estatística entre a RPD e TCFC ($p = 0,007$) e entre a RPD com a μ CT ($p = 0,019$). Nos 1PMI houve diferença estatística entre a RPD e TCFC com a μ CT ($p = 0$). Nos 2PMI houve diferença estatística na RPD com a TCFC ($p = 0,006$) e μ CT ($p = 0,003$). Observou-se que a maioria dos canais não terminavam no ápice radicular na μ CT nos ICI, ILI e 1PMI, nos CI e 2PMI na TCFC e μ CT, a maioria dos canais também não terminavam no ápice radicular. **Conclusões:** Na TCFC e μ CT foram observadas mais variações anatômicas segundo Vertucci. Nos II e CI foram observados maior número de canais radiculares na RPD e TCFC quando comparados a μ CT. Nos PMI não houve diferença entre três métodos imaginológicos complementares. Nos ILI e CI foram observados mais canais laterais na TCFC quando comparadas a μ CT. Nos PMI foi observado maior número de canais laterais por meio da μ CT, distribuídos por toda extensão do canal radicular. Nos II, CI e PMI a μ CT mostrou que a maioria dos canais não terminam no ápice radicular.

Palavras-Chaves: Anatomia, Microtomografia por Raio-X, Endodontia;

ABSTRACT

Objective: Investigate the morphology of the root canal system (RCS) and compare with Vertucci's classification, as well as verify the number of root canals, the presence of lateral canals in the root thirds and at its end utilizing three different complementary imaging methods. **Materials and Methods:** A 150 teeth total were assessed. The elements were divided in subjects by 30 elements each. The subjects were mandibular central incisive (MCI), mandibular lateral incisive (MLI), mandibular canine (MC), first (MFPM) and second mandibular premolar (MSPM). Then, three different imaging methods were used to evaluate them: Digital Periapical Radiography (DPR), Cone-Beam Computed Tomography (CBCT) which were observed by 03 different evaluators and the microtomography (μ CT) was observed by a fourth evaluator. **Results:** Regarding the Vertucci's classification, statistical difference was found in MCI subject between the DPR and CBCT ($p = 0.036$), also in relation to μ CT ($p = 0.011$). Type I was the most common in MCI and MFPM. When related to MFPM statistical difference is noticed between RPD and μ CT ($p = 0.003$), CBCT and μ CT ($p = 0.006$). Referring to the average number of canals observed in the MCI, there was statistical difference between the DPR and CBCT ($p = 0.002$), the μ CT showed statistical difference between the DPR ($p = 0.00018$) and CBCT ($p = 0.00018$). In the MCI, statistical difference is observed only between the CBCT and μ CT ($p = 0.025$). Regarding the presence of the lateral canals, statistical difference was found ($p = 0.031$) in the MLI between the CBCT with μ CT. As for the presence of lateral canals in the root thirds in the MCI, for DPR and μ CT most were observed in the apical third, whereas in the CBCT was in the middle third, with statistical difference between CBCT and μ CT ($p = 0.016$). In MFPM there was statistical difference in DPR and CBCT with μ CT ($p = 0.01$ and $p = 0.004$), a higher number of canals were observed through μ CT. As for the end of the canal coinciding with the root apex, there was statistical difference in the MCI and MLI in the DPR, CBCT with μ CT ($p = 0.001$; ($p = 0$). In the MC, there was statistical difference between the DPR and CBCT ($p = 0.007$) and between DPR with μ CT ($p = 0.019$). In MFPM statistical difference is observed between DPR and CBCT with μ CT ($p = 0$). In MSPM statistical difference is recorded in DPR with CBCT ($P = 0.006$) and μ CT ($p = 0.003$). The volunteers observed that most canals did not end at the root apex at μ CT in MCI, MLI and MFPM, in MC and MSPM at CBCT and μ CT, most canals also did not end at the root apex. **Conclusions:** In CBCT and μ CT, more anatomical variations were observed according to Vertucci's classification. In mandibular incisors and canine, a greater number of root canals were observed in the DPR and CBCT when compared to μ CT. In mandibular premolars there was no difference between the three complementary imaging methods. In the MLI and MC, more lateral canals were observed in the CBCT when compared to μ CT. In mandibular premolars, a greater number of lateral channels was observed using μ CT, distributed over the entire length of the root canal. In mandibular incisors, canines and premolars μ CT showed that most canals do not end at the root apex.

Keywords: *Anatomy, X-Ray Microtomography, Endodontics;*

SUMÁRIO

INTRODUÇÃO	9
MATERIAIS E MÉTODOS	11
RESULTADOS	13
DISCUSSÃO	18
CONCLUSÃO	22
ANEXOS	23
REFERÊNCIAS BIBLIOGRÁFICAS	40

LISTA DE TABELAS

Tabela 01	Média do número de canais observados nos ICI e ILI de acordo com os métodos de obtenção de imagem 13
Tabela 02	Frequência da classificação do SCR de ICI e ILI segundo Vertucci (1984) observados de acordo com o método de obtenção de imagem 13
Tabela 03	Frequência da presença de canais laterais observados em ICI e ILI de acordo com os métodos de obtenção de imagem 13
Tabela 04	Frequência da presença de canais laterais nos terços radiculares observados em ICI e ILI de acordo com os métodos de obtenção de imagem..... 14
Tabela 05	Frequência das observações de ICI e ILI quanto ao término do SCR no ápice radicular de acordo com o método de obtenção de imagem..... 14
Tabela 06	Média do número de canais observados nos CI de acordo com o método de obtenção de imagem 14
Tabela 07	Frequência da classificação do SCR de CI segundo Vertucci (1984) observados de acordo com o método de obtenção de imagem 14
Tabela 08	Frequência da presença de canais laterais observados em CI de acordo com os métodos de obtenção de imagem 15
Tabela 09	Frequência da presença de canais laterais nos terços radiculares observados em CI de acordo com os métodos de obtenção de imagem..... 15
Tabela 10	Frequência das observações de CI quanto ao término do SCR no ápice radicular de acordo com o método de obtenção de imagem..... 15
Tabela 11	Média do número de canais observados em PMI de acordo com o método de obtenção de imagem 15
Tabela 12	Frequência da classificação do SCR de PMI segundo Vertucci (1984) observados de acordo com o método de obtenção de imagem 16
Tabela 13	Frequência da presença de canais laterais observados em PMI de acordo com os métodos de obtenção de imagem 16
Tabela 14	Frequência da presença de canais laterais nos terços radiculares observados em PMI de acordo com os métodos de obtenção de imagem..... 16
Tabela 15	Frequência das observações de PMI quanto ao término do SCR no ápice radicular de acordo com o método de obtenção de imagem 17

LISTA DE ANEXOS

Anexo 1	Classificação de Vertucci (1984)	23
Anexo 2	Aprovação do Comitê de Ética	24
Anexo 3	Formulário de Cadastro de Projeto Biobanco de Dentes Humanos PUCPR	25
Anexo 4	Dente com cera posicionado na placa de fósforo sensível para RPD	26
Anexo 5	Obtenção da imagem da RPD por meio do VistaScan	27
Anexo 6	Dentes agrupados em placas de cera para TCFC	28
Anexo 7	Obtenção das imagens de TCFC com o Soderex Scanora® 3D	20
Anexo 8	Skyscan/Bruker High Energy model 1173 system	30
Anexo 9	Questionário sobre as imagens obtidas através dos métodos imaginológicos.....	31
Anexo 10	Classificação do SCR de ICI e ILI segundo Vertucci (1984) de acordo com o método de obtenção de imagem	32
Anexo 11	Presença de canais laterais em ICI, ILI, CI, 1PMI e 2PMI de acordo com os diferentes métodos de obtenção de imagens	33
Anexo 12	Prevalência do término do SCR de ICI, ILI, CI, 1PMI e 2PMI no ápice radicular de acordo com o método de obtenção de imagem	34
Anexo 13	Localização dos canais laterais em CI de acordo com o terço do SCR	35
Anexo 14	Classificação do SCR de 1PMI e 2PMI segundo Vertucci (1984) de acordo com o método de obtenção de imagem	36
Anexo 15	Localização dos canais laterais em 1PMI e 2PMI de acordo com o terço do SCR.....	37
Anexo 16	Classificação do SCR de CI segundo Vertucci (1984) de acordo com o método de obtenção de imagem	38
Anexo 17	Localização dos canais laterais em ICI e ILI de acordo com o terço do SCR.....	39

LISTA DE SÍMBOLOS E ABREVIATURAS

II	Incisivos Inferiores
CI	Canino Inferior
ICI	Incisivo Central Inferior
ILI	Incisivo Lateral Inferior
kV	Quilovolts
mA	Miliampère
mm	Milímetros
RPD	Radiografia Periapical Digital
SCR	Sistema de Canais Radiculares
TCFC	Tomografia Computadorizada de Feixe Cônico
μ CT	Microtomografia Computadorizada
μ A	Microampère
1PMI	Primeiro Pré-Molar Inferior
2PMI	Segundo Pré-Molar Inferior

1 **INTRODUÇÃO**

2 O complexo sistema de canais radiculares (SCR) é um habitat para muitos
3 microrganismos patogênicos que devem ser eliminados ou reduzidos, de maneira significativa
4 durante o preparo químico-mecânico do tratamento endodôntico, propiciando assim condições
5 favoráveis para que haja o reparo perirradicular (1-6). Com o intuito de contribuir para o sucesso
6 no tratamento, novas tecnologias foram desenvolvidas (2, 7) porém, mesmo com sua utilização,
7 o conhecimento da morfologia do SCR e suas mais diversas variações são imprescindíveis, uma
8 vez que, um canal não identificado ou não tratado adequadamente compromete o sucesso do
9 tratamento endodôntico (3-6, 8).

10 Diferentes estudos e métodos relacionados a este tema foram utilizados para identificar
11 a classificar o SCR, como alguns exemplos: descalcificação e uso de corante (3-6, 9, 10), secção
12 do dente (11), método radiográfico (12), tomografia computadorizada de feixe cônico (TCFC) (13)
13 e o padrão ouro, a microtomografia (μ CT) (14). Entretanto, um dos estudos pioneiros e que se
14 consolidou na literatura como uma das principais referências foi o desenvolvido por Vertucci em
15 1984 (6) onde foi investigado a morfologia interna de 2.400 dentes permanentes por meio da
16 descalcificação e injeção de hematoxilina no SCR, classificando em oito possíveis variações
17 morfológicas (Anexo 01).

18 Os incisivos, caninos e pré-molares inferiores muitas vezes são subestimados pelo
19 profissional em sua rotina, em relação à terapia pulpar, em exames imaginológicos, por
20 parecerem, na maioria das vezes serem unirradiculares e retos. Sem uma análise criteriosa
21 podem parecer que possuem um SCR simples e de fácil tratamento, mais na realidade são
22 dentes com bastante complexidade anatômica (15). A intervenção inadequada ou o
23 desconhecimento de outros canais que não sejam tratados, podem levar ao insucesso e até
24 mesmo a perda dentária.

25 Os incisivos inferiores são os mais complexos quando se trata de anatomia radicular
26 devido sua área limitada de acesso e a presença de grande variação anatômica, sendo
27 considerado até mesmo mais complexo do que dentes posteriores (16). Já os caninos inferiores
28 apresentam uma raiz na maioria das vezes (16, 17), porém podem em alguns casos
29 apresentarem duas raízes ou até mesmo terminar em dois canais diferentes no ápice, variando
30 na literatura em até 6% de incidência (3, 6, 18-23). Por sua vez, os pré-molares inferiores
31 possuem uma alta variabilidade anatômica, uma vez que apresentam um, dois ou até mesmo
32 três canais em pelo menos 23% dos casos (24, 25).

33 Por isso, os profissionais não devem menosprezar a variabilidade do número de canais
34 e variações anatômicas existentes nestes grupos dentários, ou até mesmo desconhecê-los,
35 sendo que existem estudos mostrando uma porcentagem variável apresentando um, dois ou
36 mais canais com variações em sua anatomia (3, 5, 6, 14, 18, 26, 27).

37 Por estas complexidades que desafiam o profissional em sua rotina durante o tratamento
38 endodôntico e muitas vezes levam ao insucesso da terapia pulpar, o objetivo deste trabalho foi

1 verificar a morfologia do SCR e compará-los com a classificação de Vertucci, além de verificar
2 também o número de canais radiculares, presença de canais laterais nos terços radiculares e
3 término do SCR nos grupos dentários incisivos, caninos e pré-molares inferiores, utilizando três
4 diferentes métodos imaginológicos complementares: Radiografia Periapical Digital (RPD),
5 Tomografia Computadorizada de Feixe Cônico (TCFC) e Microtomografia (μ CT), fornecendo
6 deste modo subsídios ao profissional para que se possa realizar um tratamento com maior
7 previsibilidade, minimizando a probabilidade de erros e proporcionando o aumento de sucesso
8 no tratamento endodôntico.

9

1 **MATERIAIS E MÉTODOS**

2 Esse estudo transversal descritivo foi aprovado pelo Comitê de Ética e Pesquisa sob o
3 parecer CAAE 19089319.9.0000.0020 (Anexo 2) e a amostra foi composta por 150 dentes
4 inferiores, sendo eles: 30 incisivos centrais, 30 incisivos laterais, 30 caninos, 30 primeiros pré-
5 molares e 30 segundos pré-molares.

6 Os dentes foram selecionados de forma aleatória no banco de dentes da PUCPR
7 (Anexo 3) utilizando uma lupa (ampliação de 3x) e sob luz natural, obedecendo os seguintes
8 critérios de inclusão: ausência de reabsorção radicular que pudesse vir a prejudicar a avaliação
9 da anatomia interna, presença de coroa íntegra, ausência de cavidade cariosa ou abrasiva na
10 região cervical, ausência de tratamento endodôntico. Por fim, a amostra foi armazenada em
11 solução timol 0,1%, codificada e identificada individualmente.

12 Todos os dentes foram radiografados individualmente (RPD – Radiografia Periapical
13 Digital) respeitando a mesma angulação de incidência perpendicular ao longo eixo do dente,
14 usando cera utilidade para fixa-lo em uma placa de fósforo sensível ao raio-x com a vestibular
15 voltada para o feixe de raio-x (Anexo 4) com os seguintes parâmetros: 7 mA, 70 kV por 0,100 s.
16 O processamento da imagem digital foi feita pelo aparelho VistaScan (Anexo 5) e a imagem final
17 transmitida a um computador por meio do seu sistema PACS (Picture Archiving na
18 Communication System) salva no formato .JPEG (Joint Photographics Experts Group).

19 Os dentes foram, então, agrupados em placas de cera 7 (Anexo 6) com a raiz inserida
20 na cera com a face vestibular voltada para anterior para que fosse feito escaneamento pelo
21 aparelho de Tomografia Computadorizada de Feixe Cônico da Clínica de Odontologia da
22 PUCPR, modelo Soredex Scanora® 3D (voxel de 0,133 mm (28), 90 kV, 13 mA) (Anexo 7) e
23 suas imagens analisadas de forma individual pelo software OnDemand3D™, onde o avaliador
24 teve a possibilidade de observar as imagens em seus três planos: sagital, coronal e axial.

25 Para a aquisição das imagens pela μ CT, os dentes foram inseridos pela coroa em um
26 isopor em grupos de quatro devido a limitação da área de trabalho do Microtomógrafo Skyscan,
27 modelo 1173 (Bruker High Energy system) da Universidade Federal do Rio de Janeiro (Anexo 8)
28 o qual possui detectabilidade de detalhes isotrópicos de 18 μ m, em alta resolução, câmera de
29 raios-X de 11Mp com total correção de distorções e utilizou-se 90kV e 88 μ A. A reconstrução 3D
30 foi feita por meio de um computador em cluster ao qual permite a observação não destrutiva de
31 objetos de fina escala.

32 Para a observação das imagens obtidas pela μ CT utilizou-se o software NRecon (v.
33 1.6.3., Bruker- μ CT) que permite observar os dentes em todos planos quanto a sua morfologia,
34 devido a sua reconstrução tridimensional. Já a formação de imagens ilustrativas realistas do SCR
35 foi realizada mediante renderização obtidas por meio do software CTVol (Bruker, Bélgica, 2016
36 – versão 2.3.2.0). Para isso, foi feito previamente a binarização pelo software CT Analyser
37 (Bruker, Bélgica, 2016 – versão 1.16.1.0+.), separando assim o canal radicular da

1 dentina/esmalte possibilitando assim sua reconstrução. As imagens obtidas foram observadas
2 por três diferentes avaliadores.

3 Em um primeiro momento (M0) os resultados obtidos por meio da análise das imagens
4 foram testados para reprodutibilidade (Kappa intra e inter-avaliadores superior a 0,8) e neste
5 momento os resultados dos três avaliadores foram ranqueados e comparados aos resultados
6 obtidos pela μ CT, sendo selecionado o qual chegou mais próximo da μ CT, e em um segundo
7 momento (M1) foram realizados os testes estatísticos baseados nesse avaliador.

8 Os dados foram compilados em planilhas no software Excel, sendo um referente ao
9 avaliador que observou a RPD e TCFC e outra para o avaliador que observou os resultados da
10 μ CT, em relação aos seguintes dados: o número de canal (is), a classificação de acordo com
11 Vertucci (6), presença de canais laterais e em quais terços e se o canal terminava ou não no
12 ápice radicular (Anexo 9). Por fim, a análise descritiva foi feita pelo software SPSS vol. 23 (Teste
13 de Kruskal-Wallis e Teste de McNemar com nível de significância de $p = 0,05$) e os resultados
14 foram então tabulados.

1 RESULTADOS

Tabela 01: Média do número canais observados nos ICI e ILI de acordo com o método de obtenção de imagem

Grupo Dentário	Média (\pm Dp)		
	Periapical	TCFC	μ CT
Incisivo Central Inferior	1,13 (\pm 0,346)	1,5 (\pm 0,509)	1,27 (\pm 0,450)
Incisivo Lateral Inferior	1,47 (\pm 0,507)	1,47 (\pm 0,507)	1,33 (\pm 0,479)

* Teste de Kruskal-Wallis com significância de 95% ($p = 0,05$).

2
3 Em relação à média do número de canais observados nos ICI (Tabela 01) houve
4 diferença estatisticamente significativa apenas quando comparado os resultados obtidos por
5 meio da análise da RPD com a TCFC ($p = 0,002$). Nos ILI (Tabela 01) a média de canais
6 observados tanto na RPD como também na TCFC foi igual a 1,47 (\pm 0,507). Porém, na μ CT, a
7 média de canais foi igual a 1,33 (\pm 0,479), apresentando diferença estatisticamente significativa
8 quando comparado tanto com a RPD ($p=0,00018$) como também com a TCFC ($p=0,00018$).

Tabela 02: Frequência da classificação do SCR de ICI e ILI segundo Vertucci (1984) observados de acordo com o método de obtenção de imagem

Tipo	Incisivo Central Inferior			Incisivo Lateral Inferior		
	Periapical	TCFC	μ CT	Periapical	TCFC	μ CT
I	86,7% (26)	50% (15)	66,6% (20)	53,3% (16)	56,7% (17)	66,6% (20)
II		3,3% (1)		30% (9)		
III	10% (3)	46% (14)	13,3% (4)	10% (3)	43,3% (13)	23,3% (7)
IV				3,3% (1)		
V			3,3% (1)			3,3% (1)
VI	3,3% (1)			3,3% (1)		
VII			10% (3)			
Outros			6,6% (2)			6,6% (2)

* Teste de Kruskal-Wallis com significância de 95% ($p = 0,05$).

10 Em relação a classificação do SCR nos ICI (Tabela 02, Anexo 10), Vertucci (6), houve
11 diferença estatisticamente significativa entre os resultados obtidos na RPD quando comparados
12 a TCFC ($p = 0,036$) como também em relação a μ CT ($p = 0,011$), sendo o tipo I o mais comum
13 nos três métodos, 86,7% na RPD, 50% na TCFC e 66,6% na μ CT.

Tabela 03: Frequência da presença de canais laterais observados em ICI e ILI de acordo com os métodos de obtenção de imagem

Existe canal lateral?	Incisivo Central Inferior			Incisivo Lateral Inferior		
	Periapical	TCFC	μ CT	Periapical	TCFC	μ CT
Sim	20% (6)	23,3% (7)	23,3% (7)	30% (9)	50% (15)	16,7% (5)
Não	80% (24)	76,7% (23)	76,7% (23)	70% (21)	50% (15)	83,3% (25)

* Teste de McNemar com significância de 95% ($p = 0,05$).

14 Em relação a presença de canais laterais (Tabela 03, Anexo 11), houve diferença
15 estatisticamente significativa ($p = 0,031$) somente para o grupo do ILI quando comparado os
16 resultados obtidos por meio da TCFC com a μ CT.

Tabela 04: Frequência da presença de canais laterais nos terços radiculares observados em ICI e ILI de acordo com os métodos de obtenção de imagem

Se sim, em qual terço?	Incisivo Central Inferior			Incisivo Lateral Inferior		
	Periapical	TCFC	μCT	Periapical	TCFC	μCT
Cervical		14,2% (1)				
Médio	33,3% (2)	42,9% (3)	14,2% (1)	22,2% (2)	60% (9)	20% (1)
Apical	66,7% (4)	42,9% (3)	71,6% (5)	77,8% (7)	33,3% (5)	60% (3)
Cérvico-médio-apical			14,2% (1)		6,7% (1)	20% (1)

* Teste de Kruskal-Wallis com significância de 95% ($p = 0,05$)

Tabela 05: Frequência das observações de ICI e ILI quanto ao término do SCR no ápice radicular de acordo com o método de obtenção de imagem

O canal termina no ápice?	Incisivo Central Inferior			Incisivo Lateral Inferior		
	Periapical	CBCT	μCT	Periapical	CBCT	μCT
Sim	56,6% (17)	26,6% (8)	16,7% (5)	66,6% (20)	41,1% (12)	13,3% (4)
Não	43,4% (13)	73,4% (22)	83,3% (25)	33,4% (10)	59,9% (18)	86,7% (26)

* Teste de McNemar com significância de 95% ($p = 0,05$).

- 1 Quanto ao término do SCR coincidir com o ápice radicular (Tabela 05, Anexo 12) houve
- 2 diferença estatisticamente significativa nos ICI e ILI para ambos os exames imaginológicos (RPD
- 3 e TCFC) quando comparados a μCT, sendo para a RPD ($p = 0,001$) e para a TCFC ($p = 0$).

Tabela 06: Média do número de canais observados em CI de acordo com o método de obtenção de imagem

Quantos canais você está observando?	Média (±Dp)		
	Periapical	TCFC	μCT
Canino Inferior	1,37 (± 0,490)	1,17 (± 0,379)	1,3 (± 0,466)

* Teste de Kruskal-Wallis com significância de 95% ($p = 0,05$)

- 4 Para os CI, a média de canais observados variou entre os três métodos radiográficos
- 5 (Tabela 06), sendo a média para a RPD de 1,37 (±0,490), para a TCFC de 1,17 (±0,379) e 1,3
- 6 (± 0,466) para a μCT, porém, apenas foi estatisticamente significativa quando comparado a TCFC
- 7 com a μCT ($p = 0,025$).

Tabela 07: Frequência da classificação do SCR de CI segundo Vertucci (1984) observadas de acordo com o método de obtenção de imagem

Classificação de acordo com Vertucci	Canino Inferior		
	Periapical	TCFC	μCT
I	63,3% (19)	83,3% (25)	70% (21)
II	10% (3)	3,3% (1)	
III	26,6% (8)	6,6% (2)	13,3% (4)
V			13,3% (4)
VI		3,3% (1)	
VII		3,3% (1)	
Outros			3,3% (1)

* Teste de Kruskal-Wallis com significância de 95% ($p = 0,05$)

Tabela 08: Frequência da presença de canais laterais observados em CI de acordo com os métodos de obtenção de imagem

Existe canal lateral?	Periapical	TCFC	μCT
Sim	23,3% (7)	16,7% (5)	40% (12)
Não	76,7% (23)	83,3% (25)	60% (18)

* Teste de McNemar com significância de 95% ($p = 0,05$).

Tabela 09: Frequência da presença de canais laterais nos terços radiculares observados em CI de acordo com os métodos de obtenção de imagem

Se sim, em qual terço?	Periapical	TCFC	μCT
Cervical	14,3% (1)		
Médio	14,3% (1)	60% (3)	16,7% (2)
Apical	71,4% (5)	40% (2)	83,3% (10)

* Teste de Kruskal-Wallis com significância de 95% ($p = 0,05$)

- 1 Em relação a presença de canais laterais quanto aos terços radiculares (Tabela 09,
 2 Anexo 13), nos CI, na RPD a maioria foram observados no terço apical (71,4%), na TCFC 60%
 3 no terço médio e na μCT o terço mais prevalente foi o apical (83,3%). Quando comparado os
 4 resultados obtidos pela TCFC com a μCT, observou-se diferenças estatisticamente significantes
 5 ($p = 0,016$).

Tabela 10: Frequência das observações de CI quanto ao término do SCR no ápice radicular de acordo com o método de obtenção de imagem

O canal termina no ápice?	Periapical	TCFC	μCT
Sim	73,4% (22)	36,7 (11)	40% (12)
Não	26,6% (8)	63,3% (19)	60% (18)

* Teste de McNemar com significância de 95% ($p = 0,05$).

- 6 Observou-se nos CI, na RPD em 73,4% dos casos que o canal terminava no ápice
 7 radiográfico (Tabela 10, Anexo 12), porém quando em relação a exames tridimensionais (TCFC
 8 e μCT) este número diminuiu (36,7% e 40%), sendo significativo os resultados obtidos na RPD e
 9 TCFC quando comparados ($p = 0,007$) e também significativo entre a RPD com a μCT ($p = 0,019$).

Tabela 11: Média do número de canais observados nos PMI de acordo com o método de obtenção de imagem

Quantos canais você está observando?	Média ($\pm Dp$)		
	Periapical	TCFC	μCT
1º Pré-Molar Inferior	1,43 ($\pm 0,568$)	1,4 ($\pm 0,498$)	1,4 ($\pm 0,498$)
2º Pré-Molar Inferior	1,27 ($\pm 0,450$)	1,17 ($\pm 0,379$)	1,17 ($\pm 0,379$)

* Teste de Kruskal-Wallis com significância de 95% ($p = 0,05$)

Tabela 12: Frequência da classificação do SCR de PMI segundo Vertucci (1984) observados de acordo com o método de obtenção de imagem

Classificação de acordo com Vertucci	1º Pré-Molar Inferior			2º Pré-Molar Inferior		
	Periapical	TCFC	µCT	Periapical	TCFC	µCT
I	56,7% (17)	56,7% (17)	40% (12)	69,9% (21)	83,3% (25)	73,3% (22)
II	6,6% (2)			13,3% (4)		
III	10% (3)	16,7% (5)	13,3% (4)	6,6% (2)	6,6% (2)	6,6% (2)
IV	16,7% (5)	26,6% (8)		3,3% (1)	3,3% (1)	
V	6,6% (2)		3,3% (1)	6,6% (2)	6,6% (2)	6,6% (2)
VII	3,3% (1)		10% (3)			3,3% (1)
Outros			33,3% (10)			10% (3)

* Teste de Kruskal-Wallis com significância de 95% ($p = 0,05$)

1 Em relação a classificação do SCR segundo Vertucci (6) (Tabela 12, Anexo 14), o tipo
 2 mais comum nos três métodos imaginológicos para o 1PMI foi o tipo I (56,7%, 56,7%, 40%),
 3 porém, quando comparada a RPD a µCT existe diferença estatisticamente significativa ($p =$
 4 0,003) como também quando comparamos os resultados obtidos na TCFC com a µCT ($p =$
 5 0,006).

Tabela 13: Frequência da presença de canais laterais observados em PMI de acordo com os métodos de obtenção de imagem

Existe canal lateral?	1º Pré-Molar Inferior			2º Pré-Molar Inferior		
	Periapical	TCFC	µCT	Periapical	TCFC	µCT
Sim	16,7% (5)	13,3% (4)	60% (18)	36,7% (11)	40% (12)	66,7% (20)
Não	83,3% (25)	86,6% (26)	40% (12)	63,3% (19)	60% (18)	33,3% (10)

* Teste de McNemar com significância de 95% ($p = 0,05$).

6 Em relação a observação ou não de canais laterais (Tabela 13, Anexo 11), tanto na
 7 RPD quanto na TCFC para 1PMI a maioria não observou (83,3% e 86,6%), sendo a diferença
 8 estatisticamente significativa quando comparados a µCT ($p = 0,01$ e $p = 0,004$).

Tabela 14: Frequência da presença de canais laterais nos terços radiculares observados em PMI de acordo com os métodos de obtenção de imagem

Se sim, em qual terço?	1º Pré-Molar Inferior			2º Pré-Molar Inferior		
	Periapical	TCFC	µCT	Periapical	TCFC	µCT
Médio			11% (2)			5% (1)
Apical	100% (5)	100% (4)	38,9% (7)	100% (11)	100% (12)	85% (17)
Cérvico-Medial			5,5% (1)			
Cérvico-médio-apical			44,4% (8)			10% (2)

* Teste de Kruskal-Wallis com significância de 95% ($p = 0,05$)

9 Quanto a presença de canais laterais nos terços radiculares (Tabela 14, Anexo 15)
 10 houve diferença estatisticamente significativa quando se comparou os três métodos
 11 imaginológicos no 1PMI, sendo RPD com µCT ($p = 0,001$) e TCFC com µCT ($p = 0,0009$). No
 12 2PMI, houve diferença estatisticamente significativa entre a RPD e µCT ($p = 0,03$).

Tabela 15: Frequência das observações de PMI quanto ao término do SCR no ápice radicular de acordo com o método de obtenção de imagem

O canal termina no ápice?	1º Pré-Molar Inferior			2º Pré-Molar Inferior		
	Periapical	TCFC	µCT	Periapical	TCFC	µCT
Sim	70% (21)	80% (24)	13,3% (4)	70% (21)	26,6% (8)	23,3% (7)
Não	30% (9)	20% (6)	86,6% (26)	30% (9)	73,4% (22)	76,7% (23)

* *Teste de McNemar com significância de 95% (p = 0,05).*

1 Em relação ao SCR terminar coincidindo com o ápice radicular (Tabela 15, Anexo 12),
 2 houve diferença estatisticamente significativa em ambos os grupos dentários (1PMI e 2PMI)
 3 quando comparada a RPD e TCFC com a µCT. Sendo que para o 1PMI, na RPD, apenas 30%
 4 da amostra não coincidia com o ápice e TCFC 20%, enquanto que para a µCT em 86,6%, sendo
 5 p = 0 para ambos os métodos quando comparados a µCT.

6 Nos 2 PMI, quando comparado se o SCR coincide com o ápice radicular ou não (Tabela
 7 15, Anexo 12), na RPD 30% dos casos não coincidem, na TCFC 73,4% e na µCT 76,7%, com
 8 diferença estatisticamente significativa (p = 0,006 e p = 0,003).

1 **DISCUSSÃO**

2 O estudo da anatomia interna dos incisivos, caninos e pré-molares inferiores, os quais
3 podem parecer menos complexos, e que muitas vezes seu tratamento endodôntico é
4 subestimado pelo profissional devido ao desconhecimento de suas variações anatômicas, se faz
5 indispensável para alertar a necessidade de uma observação minuciosa e criteriosa nos exames
6 imaginológicos, com o objetivo de planejar e realizar um tratamento endodôntico adequado.

7 Vertucci (6), em 1984, foi pioneiro no estudo do SCR e mesmo depois de tantos outros
8 continua sendo referência em relação a nomenclatura destas possíveis variações, classificando-
9 os em oito tipos diferentes. Entretanto, outros estudos foram realizados (3-6, 14, 21, 29-34)
10 mostrando uma grande gama de anatomias existentes, cujo desconhecimento pode dificultar a
11 terapia pulpar, uma vez que, segundo Kulkarni *et al.* (16), 42% dos retratamento são devido a
12 canais não detectados.

13 Dentre as metodologias existentes, foram utilizados diferentes métodos para analisar
14 o SCR, entre eles o método radiográfico (19, 35), secções dentárias (36), técnica de diafanização
15 e uso de corantes (6, 37-39) independentemente da confiabilidade do método e da possível
16 destruição da amostra. Por isso a decisão de usar métodos de rotina do profissional como a RPD
17 (40, 41) e a TCFC (16, 17, 33, 42, 43) aliados a μ CT (40, 44-46). Na literatura atual, existem
18 estudos a respeito de comparação entre RPD e μ CT (40) e também da TCFC com a μ CT (14,
19 28, 47), tendo estudos limitados comparando os três métodos imaginológicos simultaneamente
20 como neste trabalho (48).

21 Na RPD, a limitação bidimensional afeta diretamente a percepção dos canais, podendo
22 assim, levar o clínico a não identificar corretamente a configuração ali presente, além da
23 sobreposição de imagens e estruturas, uma vez que só é possível observar o sentido mesio-
24 distal (19), porém este exame é o mais utilizado como rotina pelo profissional (42). Outro método
25 muito utilizado para identificação da anatomia é a TCFC, pois fornece detalhes tridimensionais
26 aumentando a acurácia da observação (15, 49).

27 Atualmente, a μ CT é utilizada para estudos ex-vivo e in vitro voltado para avaliação do
28 SCR, pois apresenta maior reprodutibilidade das imagens obtidas, não é destrutiva e possui
29 excelente resolução de imagem, o que torna possível identificar com maior confiabilidade a
30 configuração dos canais, sua limitação é não poder ser utilizada para estudos in vivo. (15)

31 Quando se avaliou a média do número de canais observados pelos três examinadores
32 nos incisivos inferiores, os resultados mostraram que nos ICI foram semelhantes para a RPD e
33 μ CT, foram observados mais canais com a TCFC. Nos ILI, tanto a RPD quanto na TCFC, foram
34 observados mais canais do que na μ CT (Tabela 1). Nos CI, também na μ CT foram observados
35 menos canais (Tabela 6). Pode-se observar detalhadamente o número de canais por toda
36 extensão do SCR com a μ CT, pois este método representa o padrão ouro, mostra a imagem real
37 da morfologia dos dentes. A maior observação do número de canais TCFC poderia ser atribuída
38 em decorrência de artefatos de imagem (50-53).

1 A morfologia mais frequente dos ICI (Tabela 02, Anexo 10) foi do tipo I de Vertucci (6)
2 e assim como em outros estudos (43, 44), seguido do tipo III como encontrado por Al-Qudah,
3 Awawdeh (26). Entretanto, somente por meio da μ CT foi possível classificar dois tipos diferentes
4 (6,6%) dos já oito propostos.

5 Em relação aos ILI, quando se comparou a RPD e TCFC com a μ CT houve diferença
6 estatisticamente significativa ($p = 0,0001$), sendo o tipo I de Vertucci (6) mais frequente (Tabela
7 02, Anexo 10), seguido do tipo II na RPD e tipo III na TCFC e μ CT, estes resultados estão de
8 acordo com Al-Qudah, Awawdeh (26). Nos ICI, estes também tiveram dois resultados (6,6%) que
9 não se aplicam a classificação proposta.

10 Nos CI, o tipo I de Vertucci (6) foi o mais frequente nos três métodos imaginológicos
11 seguido do tipo III como o segundo mais encontrado (Tabela 07, Anexo 16) concordando com
12 estudos anteriores (17, 28). Na μ CT foi possível observar uma frequência igual de tipos III e V
13 de Vertucci (13,3% em cada) e apenas um caso (3,3%) adicional a esse.

14 Nos PMI, também o tipo I de Vertucci (6) foi o mais frequente (Tabela 12, Anexo 14),
15 como em outros estudos (16, 33, 42). No 1PMI observou-se que o segundo tipo mais frequente
16 foi o IV de Vertucci (6) na RPD (16,7%) e na TCFC (26,6%), com diferença estatisticamente
17 significativa em relação a μ CT ($p = 0,006$ e $p = 0,003$) onde foi possível observar grande variação
18 anatômica (10 diferentes tipos não classificáveis de acordo com Vertucci) de anatomias do SCR,
19 sendo relatadas por Al-Qudah, Awawdeh (54) e Arslan *et al.* (55). Observou-se que o tipo VII de
20 Vertucci foi mais identificado na μ CT (10%), uma vez que sua incidência triplica (Tabela 12,
21 Anexo 14) em relação a RPD (3,3%), dados que foram verificados por Alkaabi *et al.* (40). Nos
22 2PMI observou-se como segundo mais frequente na RPD o tipo II (13,3%), tipos III e V (6,6%
23 cada) para TCFC e três casos diferentes e não classificáveis (10%) na μ CT. As variações
24 morfológicas segundo Vertucci (6) foram mais observadas na TCFC e μ CT, mostrando a
25 superioridade dos exames tridimensionais.

26 Quanto as observações de canais laterais, nos ILI, por meio da TCFC (Tabela 03, Anexo
27 11), em 50% da amostra foram observados canais laterais, sendo 60% deles localizados no terço
28 médio (Tabela 4, Anexo 17). Enquanto que na μ CT as observações de canais laterais diminuíram
29 (16,7%) (Tabela 3, Anexo 11) e o terço mais comum foi o apical (60%) (Tabela 4, Anexo 17),
30 sendo $p = 0,031$. A incidência de canais laterais classificadas de acordo com sua localização nos
31 terços do SCR neste estudo, quando comparados ao trabalho de Wolf *et al* (2020), foram mais
32 frequentes uma vez que, no estudo citado, a incidência de canais laterais foi de 0,8% no terço
33 cervical, 6,4% no terço médio e 6,4% no terço apical. Estes resultados foram semelhantes aos
34 observados neste estudo quanto ao número de canais radiculares, mostrando que a TCFC
35 apresentou número de canais e presença de canais laterais que não existiam na μ CT, uma vez
36 que em ambos a observação foi maior do que a imagem real, pois a TCFC muitas vezes
37 apresenta artefatos de imagem que podem simular alterações dentárias (50-53).

1 Nos CI (Tabela 08, Anexo 11), houve diferença estatisticamente significativa ($p = 0,016$)
2 entre a TCFC e μ CT em relação a observação de canais laterais nos terços radiculares. Na RPD
3 (71,4%) e μ CT (83,3%) foram observados mais canais no terço apical do que na TCFC (40%),
4 nesta última foi observado mais no terço médio (60%) (Tabela 9, Anexo 13).

5 No grupo dos PMI, somente o 1PMI (Tabela 13, Anexo 11), houve diferença
6 estatisticamente significativa na observação de canais laterais entre a RPD (16,7%) e μ CT (60%)
7 ($p = 0,004$) e TCFC (13,3%) ($p = 0,003$), ou seja, na RPD e TCFC foram observados poucos canais
8 laterais, enquanto que na μ CT, observou-se em 60% da amostra, sendo esse resultado
9 semelhante ao de Caliřkan *et al.* (56), o qual utilizou a técnica de corantes para analisar o SCR
10 e constatou a presença de canais laterais em 53% da sua amostra. Além disso, nos 2PMI,
11 Caliřkan *et al.* (56) encontrou canais laterais em 39% da sua amostra e neste estudo, por meio
12 da μ CT, foi possível identificar em 33,3% da amostra.

13 Em relação ao terço radicular do 1PMI (Tabela 14, Anexo 15) houve diferença
14 estatisticamente significativa entre a RPD ($p = 0,001$) e TCFC ($p = 0,0009$) quando comparados
15 a μ CT. Na RPD e na TCFC os canais laterais foram observados apenas no terço apical, enquanto
16 que para μ CT observou-se por toda a extensão do SCR. Este resultado foi semelhante ao de
17 Alkaabi *et al* (40), onde observaram na RPD a presença de canais laterais em apenas 10% da
18 sua amostra e 44% na μ CT, sendo sua ocorrência maior no terço apical.

19 Quanto ao terço radicular do 2PMI, (Tabela 14, Anexo 15), houve diferença
20 estatisticamente significativa entre RPD e μ CT ($p = 0,036$), na RPD todos os canais observados
21 encontravam-se no terço apical, na μ CT, além de se localizarem em apical (85%), no terço médio
22 (5%) e até mesmo em todos os terços simultaneamente (10%).

23 A detecção de canais laterais por exames como RPD e TCFC muitas vezes passam
24 despercebidos, uma vez que em ambos existe uma dificuldade relacionada a resolução da
25 imagem obtida, sendo o voxel mais indicado na TCFC abaixo de 0,200 para identificação de
26 canais laterais e para identificação do SCR o voxel de 0,125 (57). Porém, ainda assim a TCFC
27 continua tendo suas limitações em relação a identificação precisa de pequenas estruturas (58).
28 É imprescindível saber que os canais laterais são áreas intocáveis durante o preparo mecânico
29 do SCR, mas de extrema importância, uma vez que ali encontram-se restos necróticos e
30 microrganismos capazes de prejudicar o tratamento e levando ao insucesso. Além disso,
31 segundo Ahmed, Hashem (15), existe uma maior variação anatômica do SCR e de presença de
32 canais laterais em dentes inferiores.

33 Em relação ao término do canal coincidir com o ápice da raiz, a RPD ($p = 0,001$)
34 mostrou que 56,6% da amostra dos ICI (Tabela 05, Anexo 12), eles coincidiram, enquanto que
35 na TCFC ($p = 0$) e μ CT apenas 26,6% e 16,7%, coincidiam, sendo os resultados estatisticamente
36 significantes. Nos ILI, houve coincidência na RPD em 66,6% ($p = 0$), na TCFC em 41,1% (0,039)
37 e na μ CT 13,3%. Os resultados encontrados pela RPD nos ICI e também no ILI, foram próximos

1 aos encontrados em outro estudo, onde 52,2% da amostra possuía o SCR terminando
2 centralmente ao ápice radicular (26).

3 Nos CI (Tabela 10, Anexo 12), houve diferença estatisticamente significativa entre RPD
4 e TCFC ($P= 0,007$) e entre RPD e μ CT ($p=0,019$), ou seja, na TCFC e μ CT a maioria dos canais
5 não terminavam no ápice radicular, enquanto que a RPD 73,4% mostraram coincidência com o
6 ápice radicular.

7 Nos PMI (Tabela 15, Anexo 12) o resultado foi semelhante aos ICI, ILI e CI, no 1PMI o
8 canal radicular coincidiu com o ápice na RPD em 70% ($p = 0$), em de 80% na TCFC ($p = 0$),
9 enquanto que na μ CT foi de 13,3%. No 2PMI, o valor foi o mesmo (70%) em relação a RPD ($p =$
10 0,04), porém para a TCFC ($p = 0,003$) foi de 26,6% e na μ CT de 23,3% apenas. Estes resultados
11 mostram que somente o comprimento de trabalho confirmado por meio da RPD pode apresentar
12 resultados desfavoráveis para a prática endodôntica (59).

1 **CONCLUSÃO**

2

3 Os resultados deste estudo mostraram que:

4 - Na TCFC e μ CT foram observadas mais variações anatômicas segundo a
5 classificação de Vertucci;

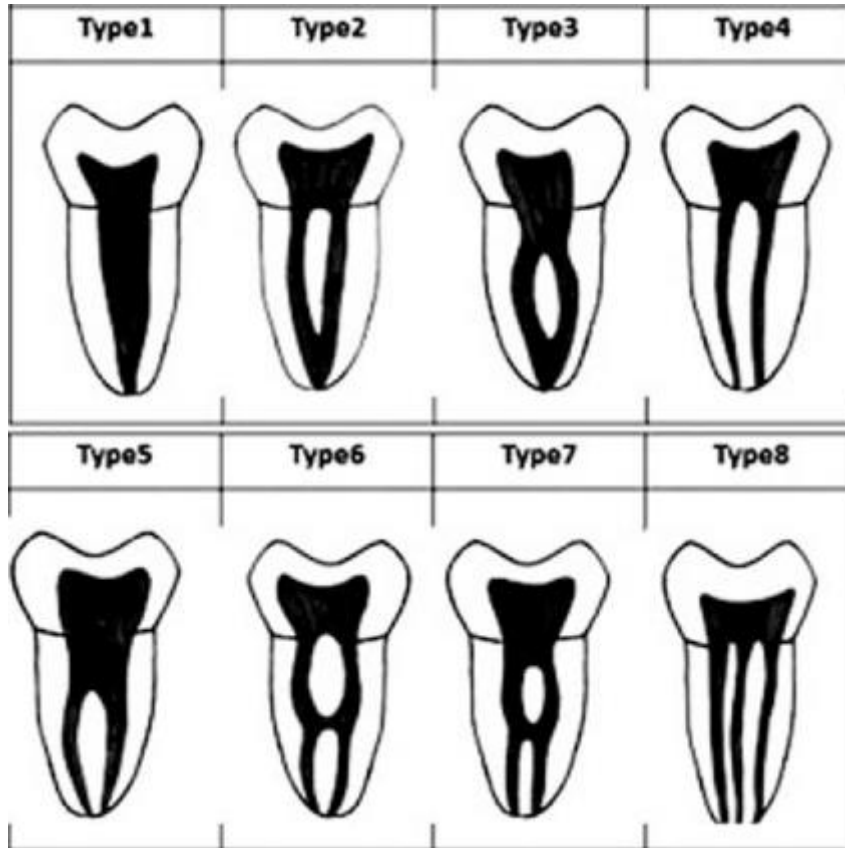
6 - Nos II e CI foram observados maior número de canais radiculares na RPD e TCFC
7 quando comparados a μ CT. Nos PMI não houve diferença entre três métodos imaginológicos
8 complementares;

9 - Nos III e CI foram observados mais canais laterais na TCFC quando comparadas a
10 μ CT. Nos PMI foi observado maior número de canais laterais por meio da μ CT, distribuídos por
11 toda extensão do canal radicular;

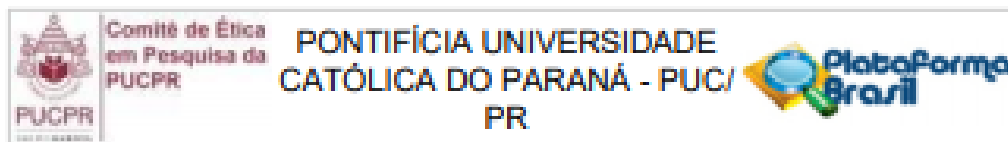
12 - Nos II, CI e PMI a μ CT mostrou que a maioria dos canais não terminam no ápice
13 radicular.

14

1 Anexo 01 – Classificação de Vertucci (1984).



1 Anexo 02 - Aprovação do Comitê de Ética.



PARECER CONSUBSTANCIADO DO CEP

DADOS DO PROJETO DE PESQUISA

Título da Pesquisa: Análise da Morfologia Radicular em Radiografias Periapicais Digitais, Tomografias Computadorizadas de Feixe Cônico e Microtomografia - Estudo In Vitro

Pesquisador: JHONY ROSS ALVES MARTINS

Área Temática:

Versão: 3

CAAE: 19089319.9.0000.0020

Instituição Proponente: Pontifícia Universidade Católica do Paraná - PUCPR

Patrocinador Principal: Financiamento Próprio

DADOS DO PARECER

Número do Parecer: 3.703.993

Apresentação do Projeto:

Segundo o pesquisador:

"Baseado na complexidade do Sistema de Canais Radiculares e alta taxa de insucesso endodôntico em relação a desconhecimento da anatomia interna, esse estudo irá investigar através de três métodos radiográficos, sendo dois deles já presentes na rotina do Cirurgião Dentista (Radiografia Periapical Digital e Tomografia Computadorizada de Feixe Cônico) e outro considerado padrão ouro pelos pesquisadores e muito utilizado em pesquisas (Microtomografia) mas que infelizmente só é aplicado para dentes ex-vivos ou estudos in vitro. Assim, após obter as três imagens, será feita a classificação de forma independente de cada uma delas e tabulado no software Excel. A análise das imagens será feita em 01 e 30 dias para garantir a reprodutibilidade do resultado e então por fim analisadas em conjunto, rodando testes estatísticos aplicáveis pelo software SPSS 23.0 e buscando associar as três imagens, esperando assim encontrar indicativos que levem o Cirurgião Dentista a desconfiar de uma possível variação tanto na imagem bidimensional (radiografia digital) como também na tridimensional de menor qualidade (tomografia computadorizada) quando comparada a microtomografia.

Hipótese:

A principal hipótese é a diferença de classificação entre as 3 metodologias radiográficas e também que haja algum indicativo na imagem obtida que possa prever essa variação.

Endereço: Rua Imaculada Conceição 1155
Bairro: Prado Velho **CEP:** 80.215-901
UF: PR **Município:** CURITIBA
Telefone: (41)3271-2103 **Fax:** (41)3271-2103 **E-mail:** nep@pucpr.br

1 Anexo 03 – Formulário de Cadastro de Projeto Biobanco de Dentes
 2 Humanos PUCPR.



PONTIFÍCIA UNIVERSIDADE CATÓLICA DO PARANÁ
 ESCOLA DE CIÊNCIAS DA VIDA - CURSO DE ODONTOLOGIA
 BIOBANCO DE DENTES HUMANOS (BDH-PUCPR)

Formulário de cadastro de projeto

1. DADOS DO PROJETO

Título: Estudo de Prevalência de Cariolesões em Bancos de Dentes Humanos, com ênfase na cariolesão por cárie de fundo coronário e restauração com resina em vidro
 Início previsto: 01/06/23 Término previsto: 31/05/24

2. DADOS DOS PESQUISADORES

2.1 Programa de Pós-Graduação: Odontologia

2.2 Orientador

Nome: Vanina Pontila Dietzel Westphalen
 E-mail: vanina.pontila@pucpr.br Celular: 99902-1510

2.3 Participante(s)*

Nome: Isadora Torres de Moraes Gama
 E-mail: isadora.torres@pucpr.br Celular: 31.40928294

Nome: _____
 E-mail: _____ Celular: _____

Nome: _____
 E-mail: _____ Celular: _____

* Adicionar mais um campo para cada participante conforme seja necessário.

3. OUTRAS

3.1 Número de dente(s): 100

3.2 Tipo(s) de dente(s): Resinas, Corões e Próteses Totais

3.3 Outras características pertinentes _____

3.4 Finalidade: (selecionar quantos forem necessários)

Iniciação Científica Especialização (especificar a área): _____

Mestrado (especificar a área): Odontologia

Doutorado (especificar a área): _____

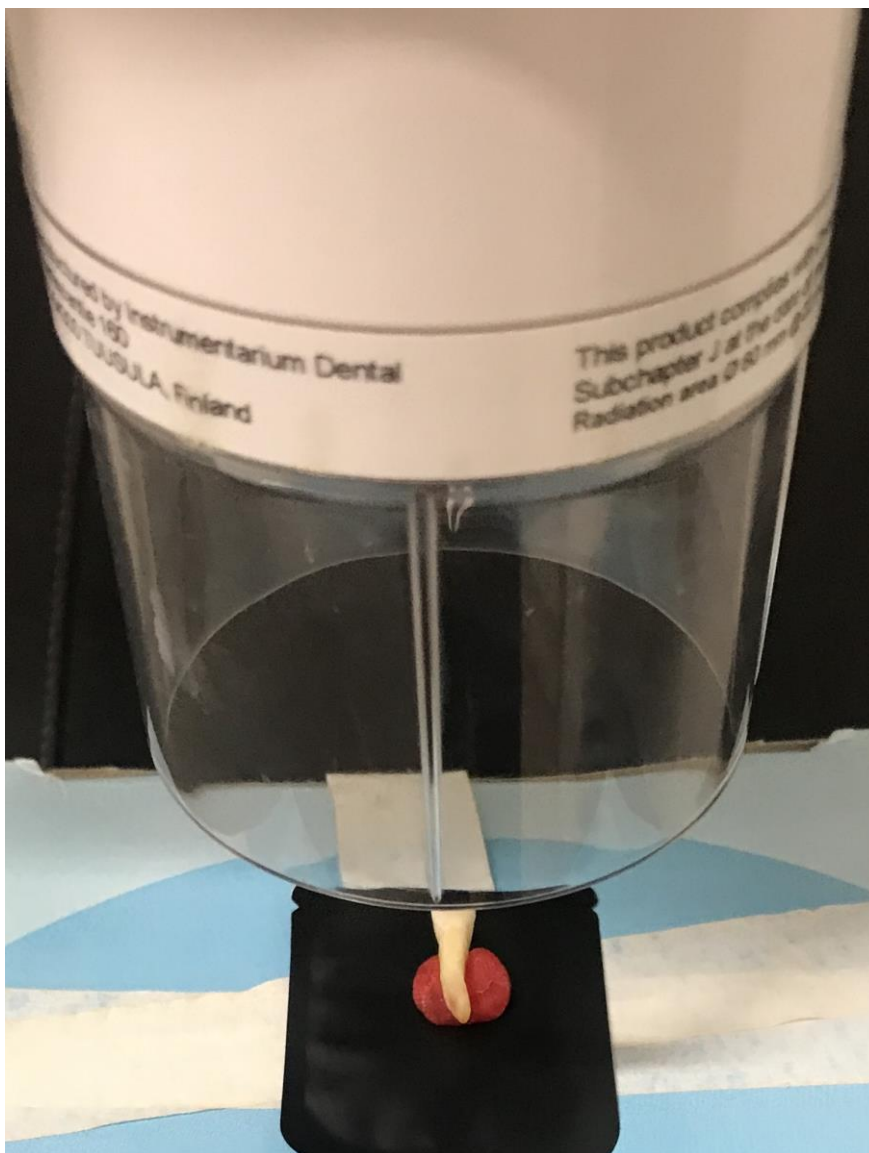
Outra (especificar a área): _____

Curitiba, ____/____/____

Vanina Pontila Dietzel Westphalen

Assinatura do Orientador

- 1 Anexo 04 – Dente com cera posicionado na placa de fósforo sensível para
- 2 RPD;



1 Anexo 05 - Obtenção da imagem da RPD através do VistaScan;



1 ANEXO 06 – Dentes agrupados em placas de cera para TCFC;



1 ANEXO 07 - Obtenção das imagens de TCFC com o Soderex Scanora® 3D;



1 ANEXO 08 - Skyscan/Bruker High Energy model 1173 system;



- 1 ANEXO 09 - Questionário sobre as imagens obtidas através dos métodos
- 2 imaginológicos.

QUESTIONÁRIO SOBRE AS IMAGENS OBTIDAS ATRAVÉS DOS MÉTODOS IMAGINOLÓGICOS

01. *Quantos canais você está observando?*

02. *Classifique o SCR de acordo com Vertucci (1984)*

Tipo I: 1-1-1

Tipo II: 2-1-1

Tipo III: 1-2-1

Tipo IV: 2-2-2

Tipo V: 1-1-2

Tipo VI: 2-1-2

Tipo VII: 1-2-1-2

Tipo VIII: 3-3-3

Outros: _____

03. *Existe canal lateral?*

Sim

Não

04. *Se sim, em qual terço?*

Cervical

Médio

Apical

Cérvico-medial

Cérvico-apical

Médio-apical

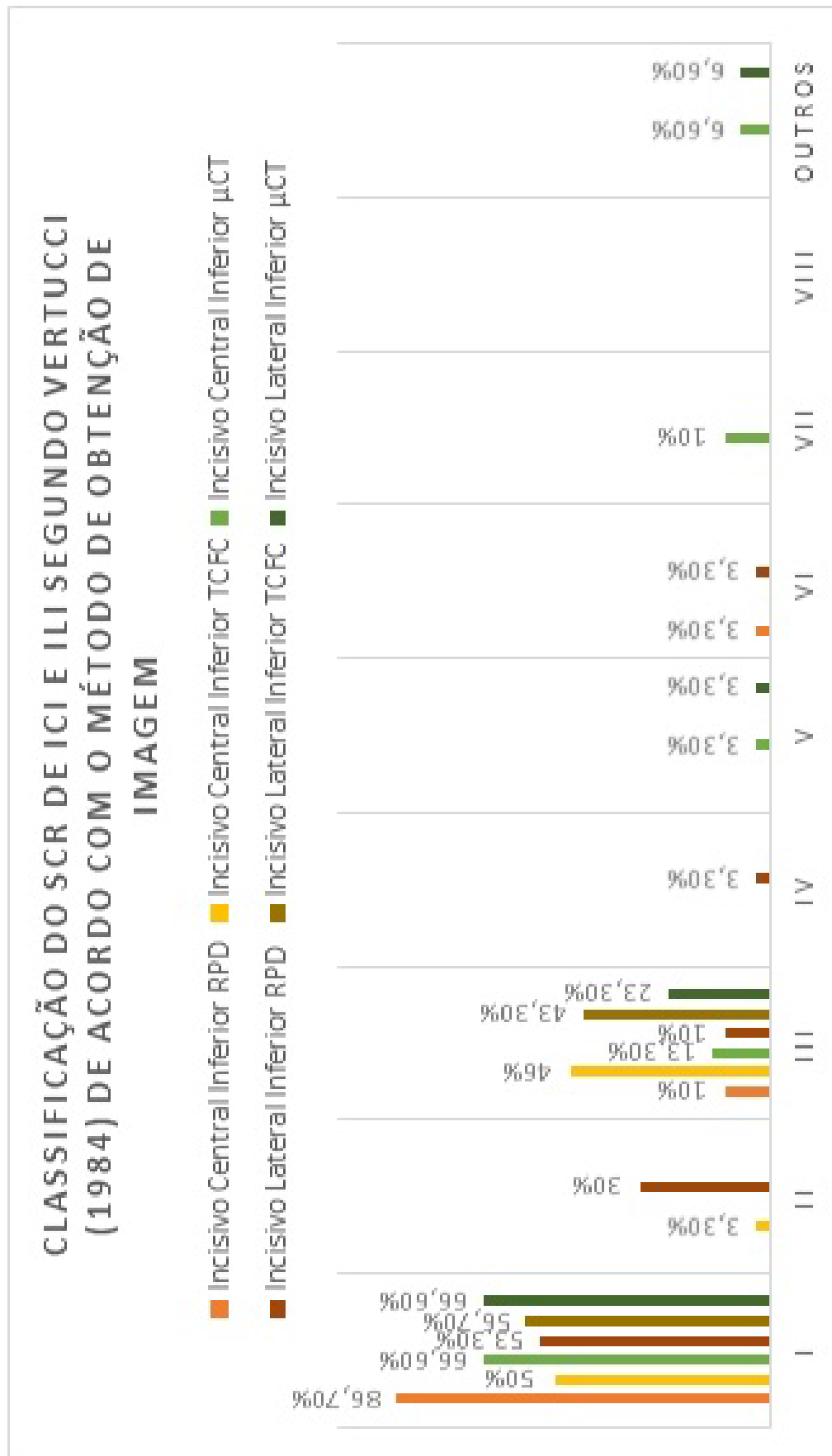
Cérvico-médio-apical

05. *O canal termina no ápice radicular?*

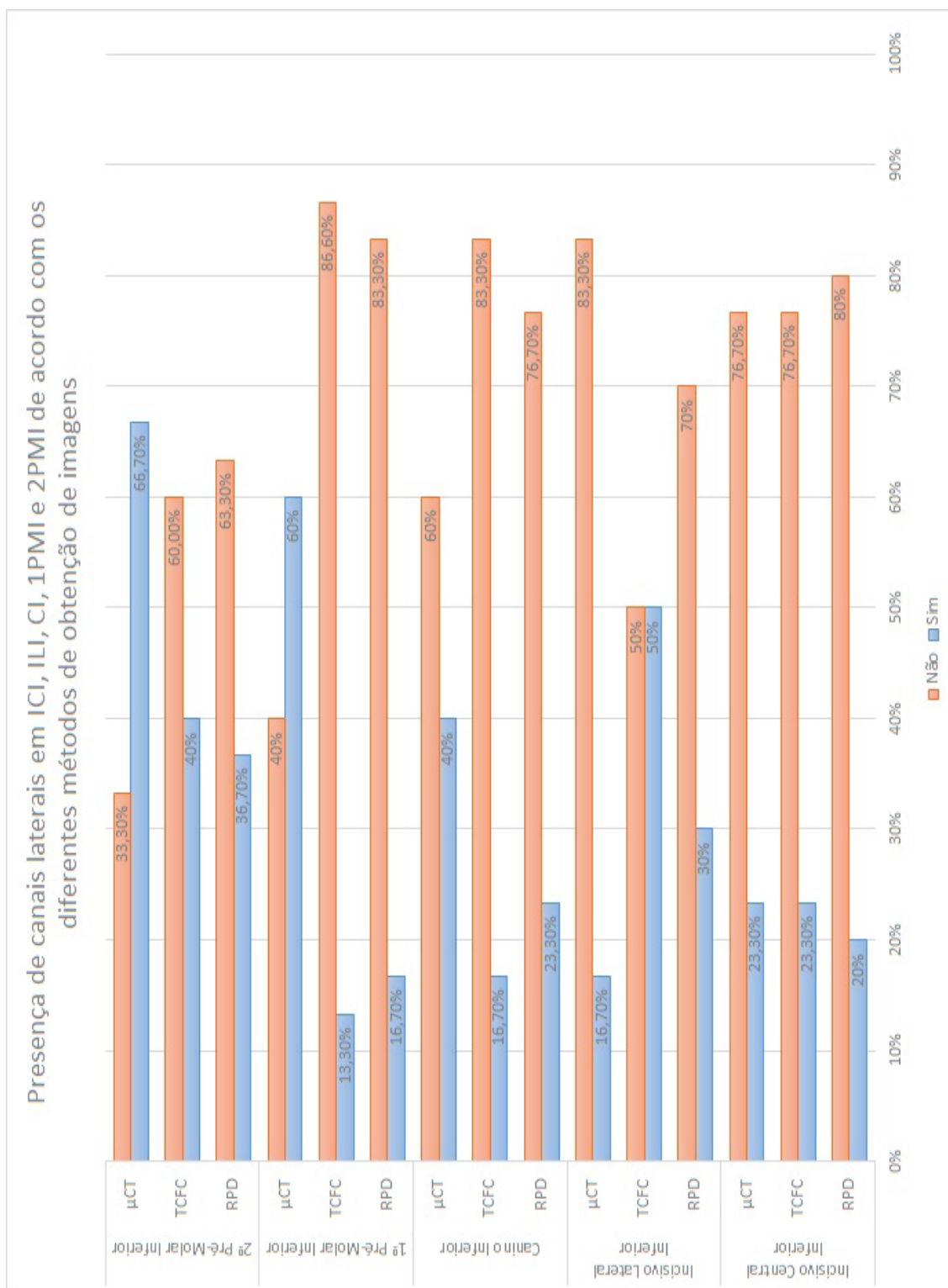
Sim

Não

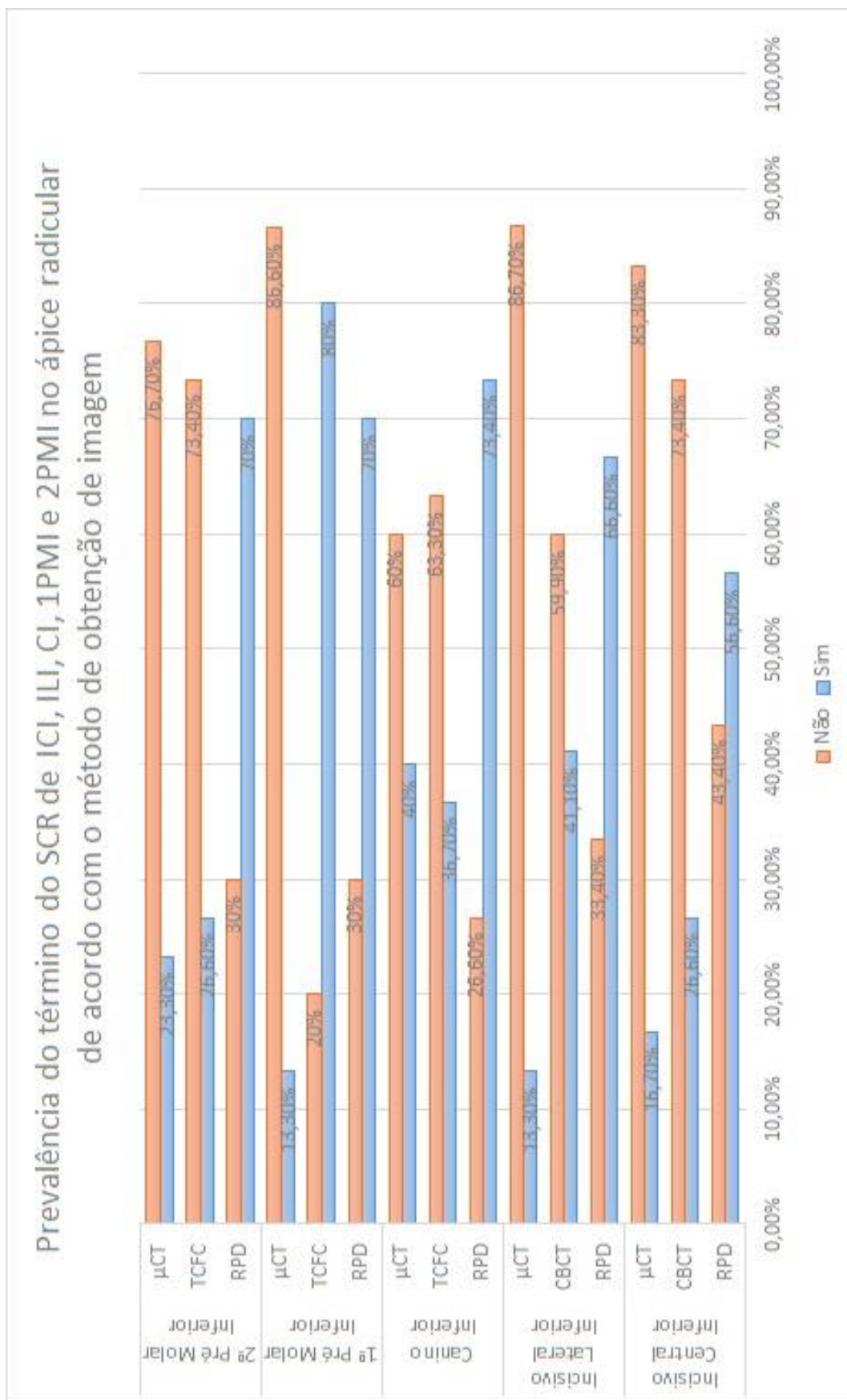
- 1 ANEXO 10 - Classificação do SCR de ICI e ILI segundo Vertucci (1984) de
- 2 acordo com o método de obtenção de imagem.
- 3



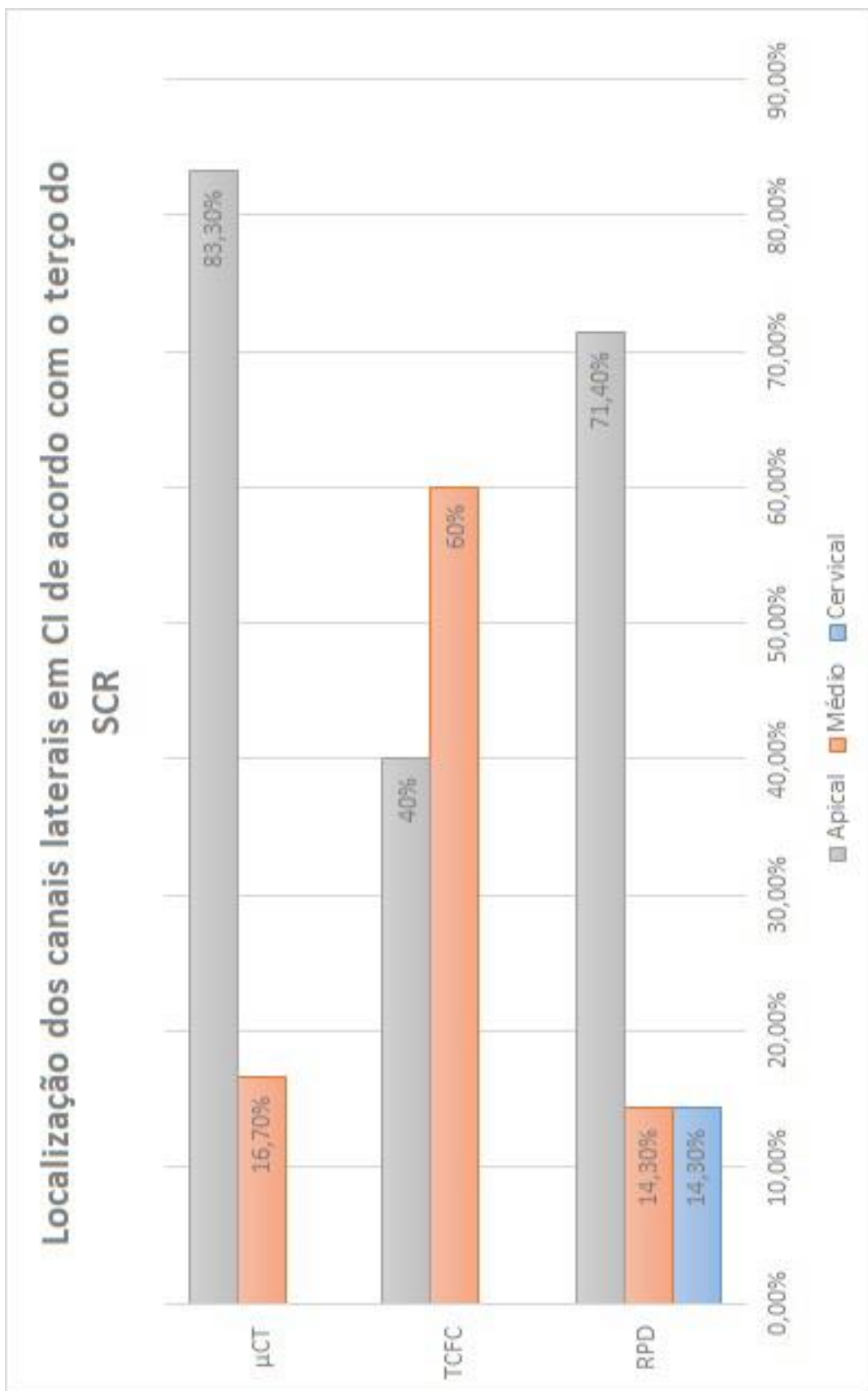
- 1 ANEXO 11 - Presença de canais laterais em ICI, ILI, CI, 1PMI e 2PMI de acordo com os
- 2 acordo com os diferentes métodos de obtenção de imagens.



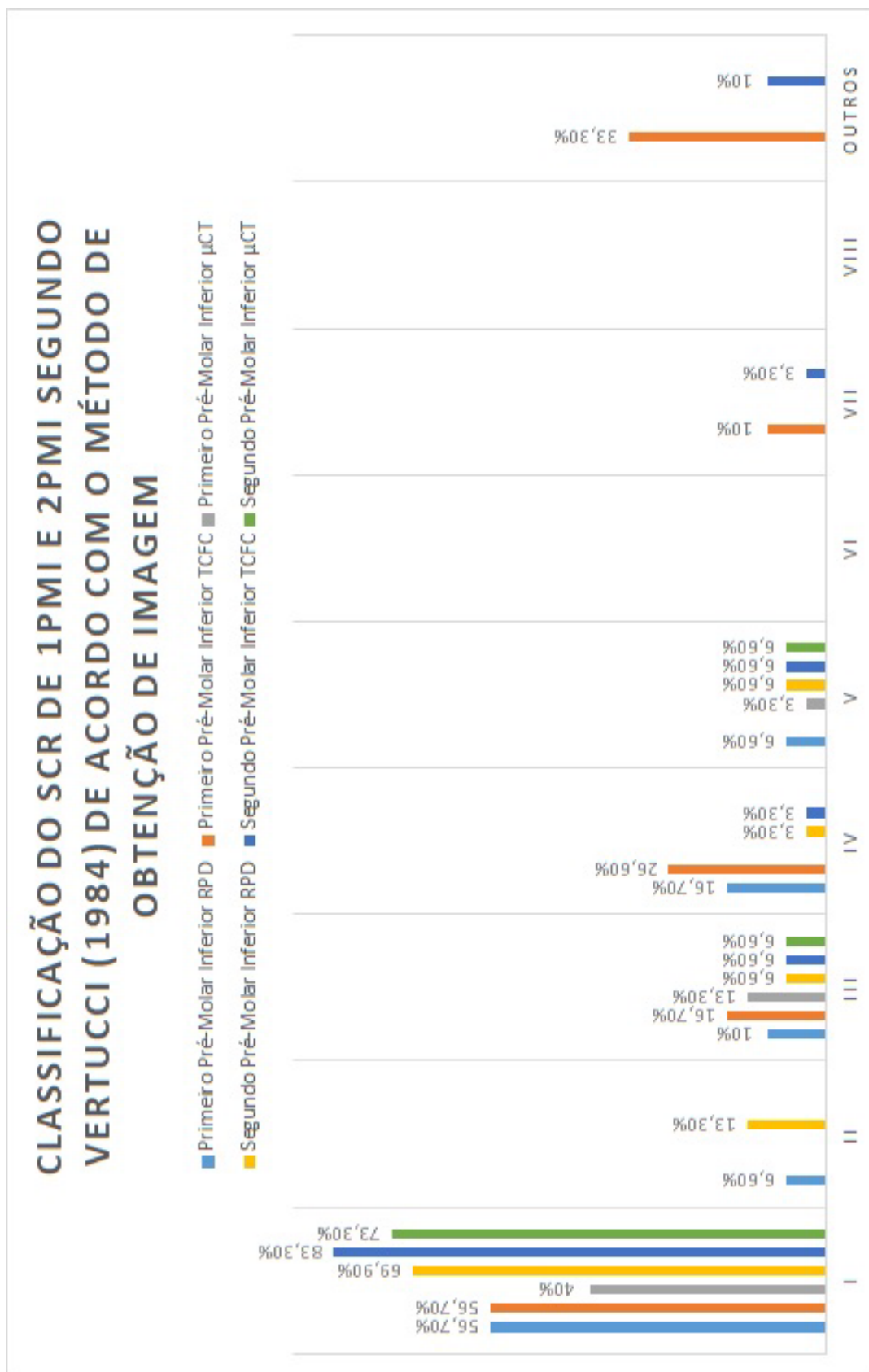
- 1 ANEXO 12 – Prevalência do término do SCR de ICI, ILI, CI, 1PMI e 2PMI no
- 2 ápice radicular de acordo com o método de obtenção de imagem



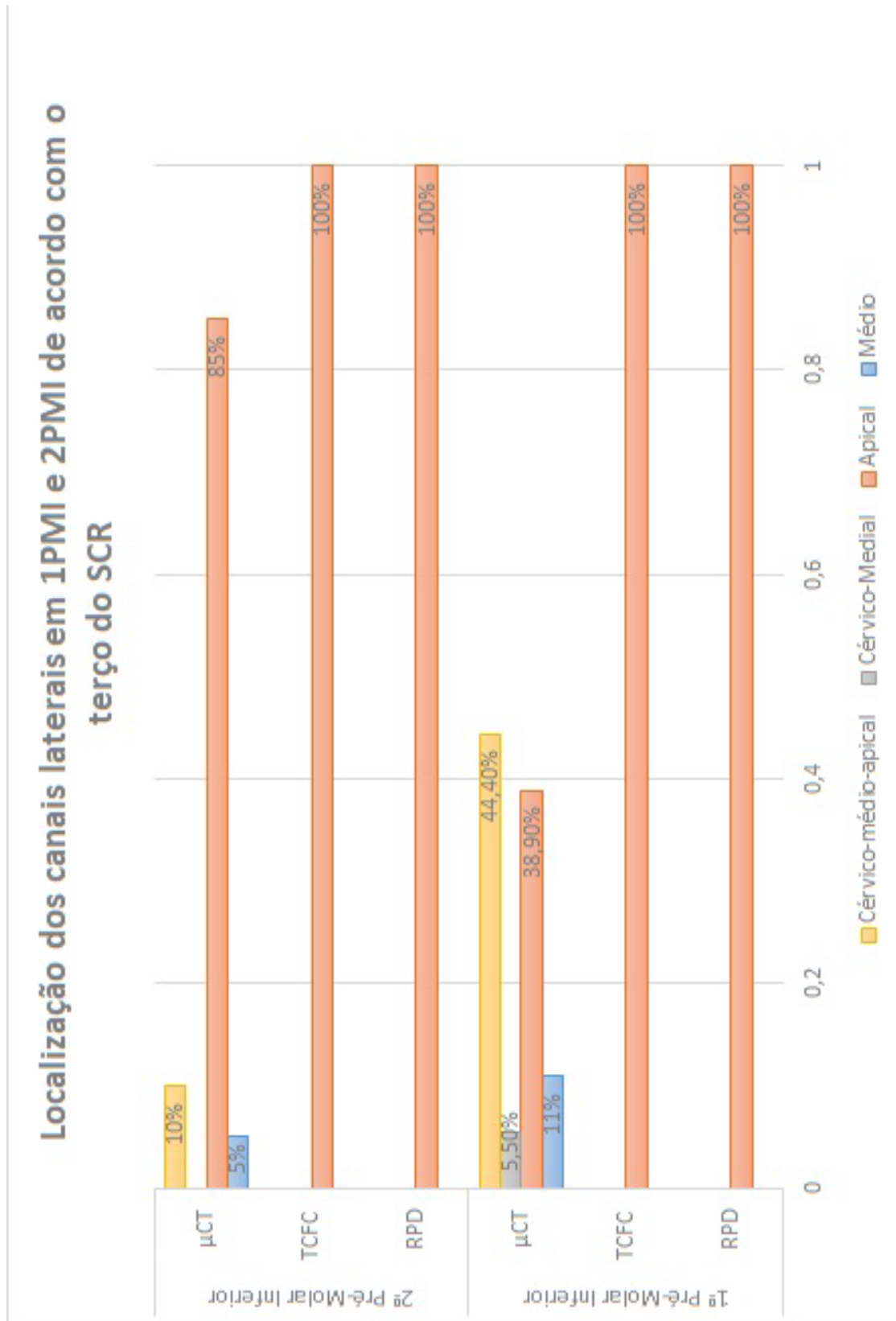
1 ANEXO 13 - Localização dos canais laterais em CI de acordo com o terço do
2 do SCR.



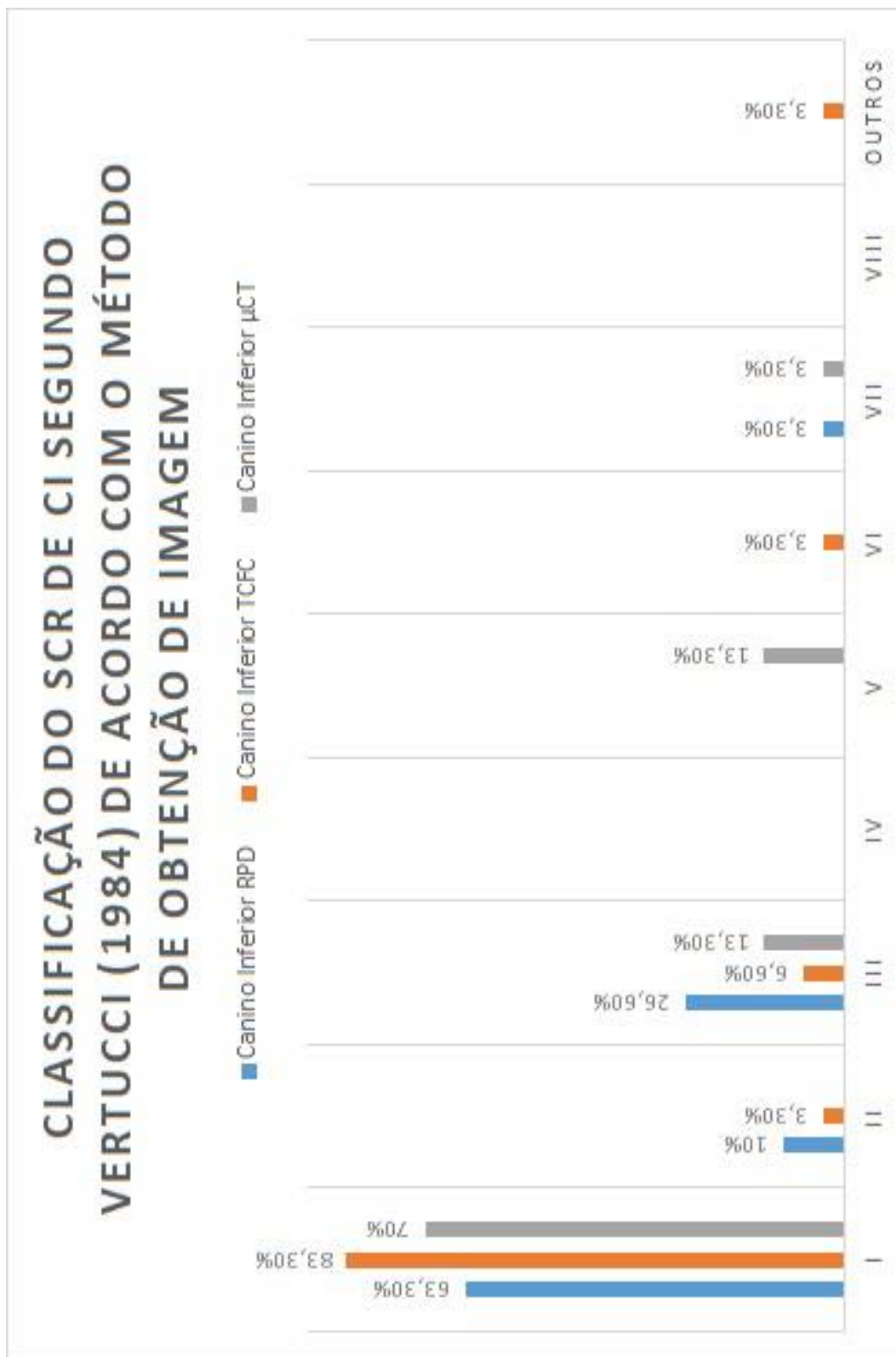
- 1 ANEXO 14 - Classificação do SCR de 1PMI e 2PMI segundo Vertucci
- 2 (1984) de acordo com o método de obtenção de imagem.
- 3



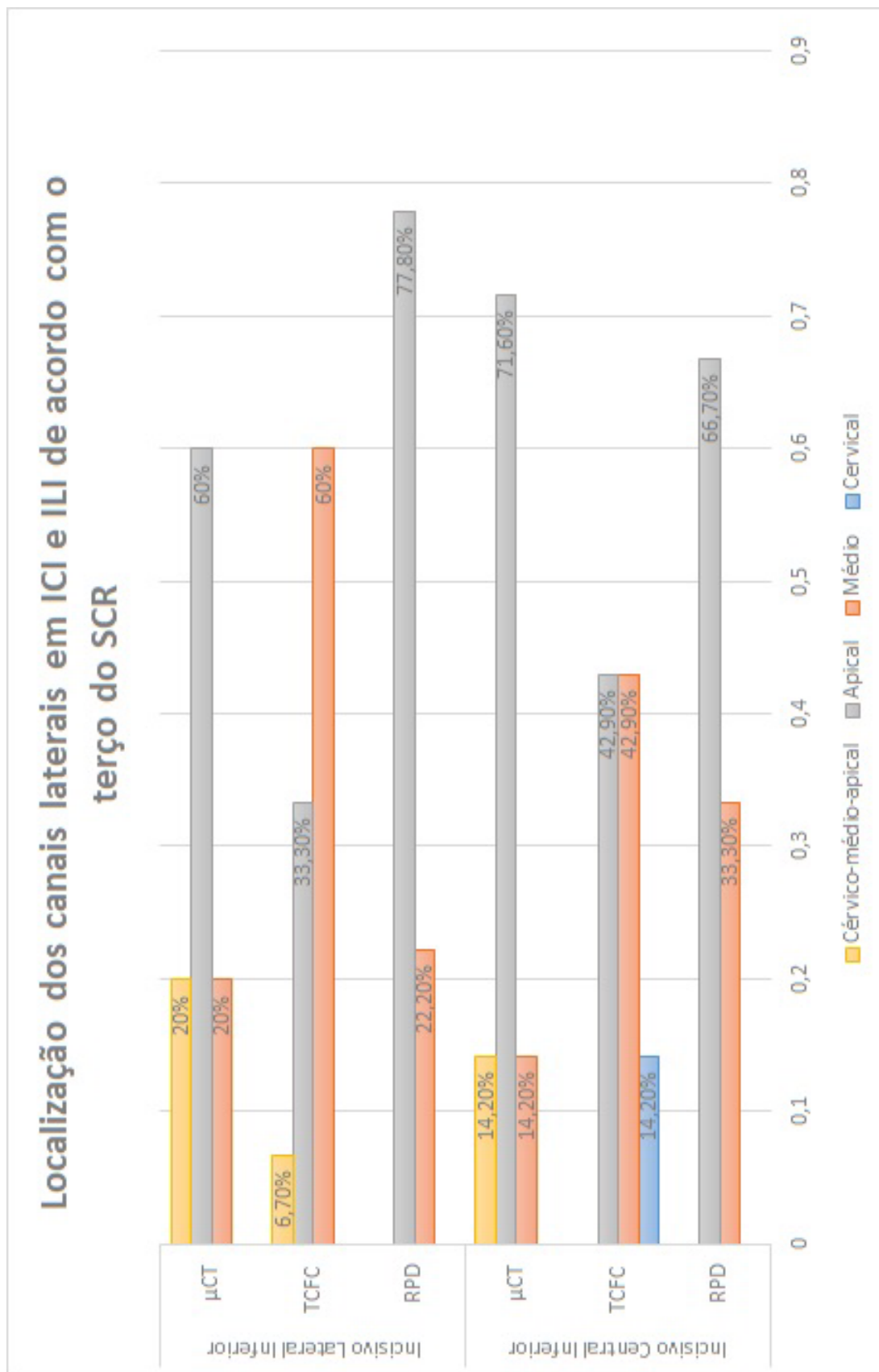
- 1 ANEXO 15 - Localização dos canais laterais em 1PMI e 2PMI de acordo
- 2 com o terço do SCR.



- 1 ANEXO 16 - Classificação do SCR de CI segundo Vertucci (1984) de
- 2 acordo com o método de obtenção de imagem.



- 1 ANEXO 17 - Localização dos canais laterais em ICI e ILI de acordo com o
- 2 terço do SCR.



REFERÊNCIAS BIBLIOGRÁFICA

- 1 1. Rodrigues RCV, Zandi H, Kristoffersen AK, Enersen M, Mdala I, Ørstavik D. Influence of the
2 Apical Preparation Size and the Irrigant Type on Bacterial Reduction in Root Canal–treated Teeth
3 with Apical Periodontitis. *Journal of endodontics*. 2017.
- 4 2. Siqueira JF. Reaction of periradicular tissues to root canal treatment: benefits and drawbacks.
5 *Endodontic Topics*. 2005;10(1):123 - 47.
- 6 3. Vertucci FJ. Root canal anatomy of the mandibular anterior teeth. *Journal of the American*
7 *Dental Association*. 1974 Aug;89(2):369-71.
- 8 4. Vertucci FJ. Root canal morphology and its relationship to endodontic procedures. *Endodontic*
9 *Topics*. 2005;10:3 - 29.
- 10 5. Vertucci FJ. Root canal morphology of mandibular premolars. *Journal of the American Dental*
11 *Association*. 1978 Jul;97(1):47-50.
- 12 6. Vertucci FJ, Fla G. Root canal anatomy of the human permanent teeth. *Oral Surg*.
13 1984;58(5):589 - 99.
- 14 7. Siqueira JF, Alves FR, Versiani MA, Rôças IN, Almeida BM, Neves MA. Correlative bacteriologic
15 and micro–computed tomographic analysis of mandibular molar mesial canals prepared by Self-
16 Adjusting File, Reciproc, and Twisted File systems. *Journal of endodontics*. 2013;39(8):1044 - 50.
- 17 8. Vaziri PB, Kasraee S, Abdolsamadi HR, Abdollahzadeh S, Esmaeili F, Nazari S. Root canal
18 configuration of one-rooted mandibular canine in an Iranian population: An in vitro study.
19 *Journal of dental research, dental clinics, dental prospects*. 2008;2(1).
- 20 9. Al-Dahman Y, Alqedairi A, Alfawaz H, Anassar F, Al-Jebaly A. Cone-beam computed
21 tomographic evaluation of root canal morphology of mandibular canines in a Saudi
22 subpopulation. *Saudi Endodontic Journal* |. 2019 Agust;9(2):113 - 18.
- 23 10. Gulabivala K, Opananon A, Ng YL, Alavi A. Root and canal morphology of Thai mandibular
24 molars. *International endodontic journal*. 2002;35:56 - 62.
- 25 11. Mauger MJ, Schindler WG, Walker WA. An evaluation of canal morphology at different levels
26 of root resection in mandibular incisors. *Journal of endodontics*. 1998;24:607 – 9.
- 27 12. Kaffe I, Kaufman A, Littner MM, Lazarson A. Radiographic study of root canal system of
28 mandibular anterior teeth. *International endodontic journal*. 1985;18(253 - 9).
- 29 13. Han T, Ma Y, Yang L, Chen X, Zhang X, Wang Y. A Study of the Root Canal Morphology of
30 Mandibular Anterior Teeth Using Cone-beam Computed Tomography in a Chinese
31 Subpopulation. 40. 2014;9(1309 - 14).
- 32 14. Leoni GB, Versiani MA, Pecora JD, Damiao de Sousa-Neto M. Micro-computed tomographic
33 analysis of the root canal morphology of mandibular incisors. *Journal of endodontics*. 2014
34 May;40(5):710-6.
- 35

- 1 15. Ahmed HM, Hashem AA. Accessory roots and root canals in human anterior teeth: a review
2 and clinical considerations. *International endodontic journal*. 2016 Aug;49(8):724-36.
- 3 16. Kulkarni V, Duruel O, Ataman-Duruel ET, Tozum MD, Nares S, Tozum TF. In-depth
4 morphological evaluation of tooth anatomic lengths with root canal configurations using cone
5 beam computed tomography in North American population. *Journal of applied oral science :
6 revista FOB*. 2020;28:e20190103.
- 7 17. da Silva EJ, de Castro RW, Nejaim Y, Silva AI, Haiter-Neto F, Silberman A, et al. Evaluation of
8 root canal configuration of maxillary and mandibular anterior teeth using cone beam computed
9 tomography: An in-vivo study. *Quintessence international (Berlin, Germany : 1985)*. 2016
10 Jan;47(1):19-24.
- 11 18. Perlea P, Nistor CC, Toma C, Dimitriu B. Endodontic configuration of the lower incisors in a
12 Romanian population: a radiological study. *Rom J Morphol Embryol*. 2013;54(3):775-8.
- 13 19. Pineda F, Kuttler Y. Mesiodistal and buccolingual roentgenographic investigation of 7275
14 root canals. *Oral Medicine and Oral Pathology*. 1972;33:101 - 10.
- 15 20. Çaliskan MK, Pehlivan Y, Sepetçioğlu F, Turkun M, Tuncer SS. Root Canal Morphology of
16 Human Permanent Teeth. *Journal of endodontics*. 1995;21(4):200 - 4.
- 17 21. Sert S, Bayirli GS. Evaluation of the root canal configurations of the mandibular and maxillary
18 permanent teeth by gender in the Turkish population. *Journal of endodontics*. 2004
19 Jun;30(6):391-8.
- 20 22. Martins JU, Gu Y, Marques D. Differences on the root and root canal morphologies between
21 Asian and white ethnic groups analyzed by cone-beam computed tomography. *Journal
22 Endodontics*. 2018;44:1096 - 104.
- 23 23. Zhengyan Y, Keke L, Fei W. Cone-beam computed tomography study of the root and canal
24 morphology of mandibular permanent anterior teeth in a Chongqing population. *Ther Clin Risk
25 Manag*. 2016;12:19 - 25.
- 26 24. Zillich R, Downson J. Root canal morphology of mandibular first and second premolars. *Oral
27 Surg*. 1973;36(5):738 - 44.
- 28 25. Bram SM, Fleisher R. Endodontic therapy in a mandibular second bicuspid with four canals.
29 *Journal Endodontics*. 1991;17(10):513 - 4.
- 30 26. Al-Qudah AA, Awawdeh LA. Root canal morphology of mandibular incisors in a Jordanian
31 population. *International endodontic journal*. 2006 Nov;39(11):873-7.
- 32 27. Kartal N, Yanikoglu FÇ. Root Canal Morphology of Mandibular Incisors. *Journal of
33 endodontics*. 1992;18(11):562 - 4.

- 1 28. Beltes P, Kantilieraki E, Kalaitzoglou ME, Beltes C, Angelopoulos C. Mandibular canines with
2 additional roots: An ex vivo study of the external and internal morphology. Australian
3 endodontic journal : the journal of the Australian Society of Endodontology Inc. 2019
4 Aug;45(2):184-8.
- 5 29. Hess W. Anatomy of Root Canals of the Teeth of the Permanent Dentition. Willian Wood and
6 Co. 1925.
- 7 30. Ahmed HMA, Versiani MA, De-Deus G, Dummer PMH. A new system for classifying root and
8 root canal morphology. International endodontic journal. 2017 Aug;50(8):761-70.
- 9 31. Shetty A, Hegde MN, Tahiliani D, Shetty H, Bhat GT, Shetty S. A three-dimensional study of
10 variations in root canal morphology using cone-beam computed tomography of mandibular
11 premolars in a South Indian population. Journal of clinical and diagnostic research : JCDR. 2014
12 Aug;8(8):ZC22-4.
- 13 32. Lin Z, Hu Q, Wang T, Ge J, Liu S, Zhu M, et al. Use of CBCT to investigate the root canal
14 morphology of mandibular incisors. Surgical and radiologic anatomy : SRA. 2014 Nov;36(9):877-
15 82.
- 16 33. Burklein S, Heck R, Schafer E. Evaluation of the Root Canal Anatomy of Maxillary and
17 Mandibular Premolars in a Selected German Population Using Cone-beam Computed
18 Tomographic Data. Journal of endodontics. 2017 Sep;43(9):1448-52.
- 19 34. Bulut DG, Kose E, Ozcan G, Sekerci AE, Canger EM, Sisman Y. Evaluation of root morphology
20 and root canal configuration of premolars in the Turkish individuals using cone beam computed
21 tomography. European journal of dentistry. 2015 Oct-Dec;9(4):551-7.
- 22 35. MUELLER AH. Anatomy of the root-canals of the incisors, cuspids, and bicuspid of the
23 permanent teeth. Journal of the American Dental Association. 1933;1361.
- 24 36. Dummer PM, McGinn JH, Rees DG. The position and topography of the apical canal
25 constriction and apical foramen. International endodontic journal. 1984;17(4):192-8.
- 26 37. Okumura T. Anatomy of the root canals. Journal of the American Dental Association.
27 1927;632.
- 28 38. Hess W. The anatomy of root canal of teeth of the permanent dentition and deciduous
29 dentition. Willian Wood and Co. 1925;1925:1-39.
- 30 39. Kuttler Y. Microscopic investigation of root apexes. JADA. 1955;50(544).
- 31 40. Alkaabi W, AlShwaimi E, Farooq I, Goodis HE, Chogle SM. A Micro-Computed Tomography
32 Study of the Root Canal Morphology of Mandibular First Premolars in an Emirati Population.
33 Medical principles and practice : international journal of the Kuwait University, Health Science
34 Centre. 2017;26(2):118-24.

- 1 41. de Souza-Freitas JA, Lopes ES, Casati-Alvares L. Anatomic variations of lower first permanent
2 molar roots in two ethnic groups. *Oral surgery, oral medicine, and oral pathology*. 1971
3 Feb;31(2):274-8.
- 4 42. Kaya Buyukbayram I, Subay RK, Colakoglu G, Elcin MA, Ordulu Subay M. Investigation using
5 cone beam computed tomography analysis, of radicular grooves and canal configurations of
6 mandibular premolars in a Turkish subpopulation. *Archives of oral biology*. 2019
7 Nov;107:104517.
- 8 43. Baxter S, Jablonski M, Hulsmann M. Cone-beam-computed-tomography of the symmetry of
9 root canal anatomy in mandibular incisors. *J Oral Sci*. 2020;62(2):180-3.
- 10 44. Wolf TG, Stiebritz M, Boemke N, Elsayed I, Paque F, Wierichs RJ, et al. 3-dimensional Analysis
11 and Literature Review of the Root Canal Morphology and Physiological Foramen Geometry of
12 125 Mandibular Incisors by Means of Micro-Computed Tomography in a German Population.
13 *Journal of endodontics*. 2020 Feb;46(2):184-91.
- 14 45. Mazzi-Chaves JF, Silva-Sousa YTC, Leoni GB, Silva-Sousa AC, Estrela L, Estrela C, et al. Micro-
15 computed tomographic assessment of the variability and morphological features of root canal
16 system and their ramifications. *Journal of applied oral science : revista FOB*. 2020;28:e20190393.
- 17 46. Boschetti E, Silva-Sousa YTC, Mazzi-Chaves JF, Leoni GB, Versiani MA, Pecora JD, et al. Micro-
18 CT Evaluation of Root and Canal Morphology of Mandibular First Premolars with Radicular
19 Grooves. *Brazilian dental journal*. 2017 Sep-Oct;28(5):597-603.
- 20 47. Caputo BV, Noro Filho GA, de Andrade Salgado DM, Moura-Netto C, Giovani EM, Costa C.
21 Evaluation of the Root Canal Morphology of Molars by Using Cone-beam Computed
22 Tomography in a Brazilian Population: Part I. *Journal of endodontics*. 2016 Nov;42(11):1604-7.
- 23 48. Paes da Silva Ramos Fernandes LM, Rice D, Ordinola-Zapata R, Alvares Capelozza AL,
24 Bramante CM, Jaramillo D, et al. Detection of various anatomic patterns of root canals in
25 mandibular incisors using digital periapical radiography, 3 cone-beam computed tomographic
26 scanners, and micro-computed tomographic imaging. *Journal of endodontics*. 2014
27 Jan;40(1):42-5.
- 28 49. Petters OA, Laib A, Ruegsegger P, Barbakow F. Three-dimensional analysis of root canal
29 geometry by high-resolution computed tomography. *J Dent Res*. 2000;79(6):1405-9.
- 30 50. Lofthag-Hansen S, Huuonen S, Gröndahl K, Gröndahl HG. Limited cone-beam CT and
31 intraoral radiography for the diagnosis of periapical pathology. *Oral surgery, oral medicine, oral
32 pathology, oral radiology, and endodontics*. 2007 Jan;103(1):114-9.
- 33 51. Estrela C, Bueno MR, Sousa-Neto MD, Pécora JD. Method for determination of root
34 curvature radius using cone-beam computed tomography images. *Brazilian dental journal*.
35 2008;19(2):114-8.

- 1 52. Scarfe WC, Levin MD, Gane D, Farman AG. Use of cone beam computed tomography in
2 endodontics. *International journal of dentistry*. 2009;2009:634567.
- 3 53. Schulze R, Heil U, Gross D, Bruellmann DD, Dranischnikow E, Schwanecke U, et al. Artefacts
4 in CBCT: a review. *Dento maxillo facial radiology*. 2011 Jul;40(5):265-73.
- 5 54. Awawdeh LA, Al-Qudah AA. Root form and canal morphology of mandibular premolars in a
6 Jordanian population. *International endodontic journal*. 2008 Mar;41(3):240-8.
- 7 55. Arslan H, Capar ID, Ertas ET, Ertas H, Akcay M. A cone-beam computed tomographic study
8 of root canal systems in mandibular premolars in a Turkish population: Theoretical model for
9 determining orifice shape. *European journal of dentistry*. 2015 Jan-Mar;9(1):11-9.
- 10 56. Caliskan MK, Pehlivan Y, Sepetcioglu F, Turkunn M, Tuncer SS. Root canal morphology of
11 human permanent teeth in a Turkish population. *Journal of endodontics*. 1995;21:200 - 4.
- 12 57. Ji Y, Wen S, Liu S, Zhu M, Yao M, Wang T, et al. Could cone-beam computed tomography
13 demonstrate the lateral accessory canals? *BMC oral health*. 2017 Nov 29;17(1):142.
- 14 58. Zhang D, Chen J, Lan G, Li M, An J, Wen X, et al. The root canal morphology in mandibular
15 first premolars: a comparative evaluation of cone-beam computed tomography and micro-
16 computed tomography. *Clinical oral investigations*. 2017 May;21(4):1007-12.
- 17 59. Tchorz JP, Poxleitner PJ, Stampf S, Patzelt SBM, Rottke D, Hellwig E, et al. The use of cone
18 beam computed tomography to predetermine root canal lengths in molar teeth: a comparison
19 between two-dimensional and three-dimensional measurements. *Clinical oral investigations*.
20 2014 May;18(4):1129-33.